



MIEŚIĘCZNIK

RADIO

DLA TECHNIKÓW I AMATORÓW

ROK II

STYCZEN - LUTY 1947 R.

NR 1-2

BIURO WYDAWNICTW POLSKIEGO RADIA

Elektrotechniczny
Warszawa
Zaborski Marian
P. 100000

cena 60 zł

TREŚĆ NUMERU:

1. Z kraju i zagranicy.
2. Stan sieci stacji radiofonicznych w Europie
— Bulletin de O. L. R. Janvier, 1947.
3. W sprawie projektów nowego rozdziału fal
dla radiofonii europejskich.
4. Fizyka atomowa.
5. Odbiorniki superrenkcyjne (dokończenie).
6. Fizyczne podstawy pracy klistrona.
7. Oscylograf katodowy (opis budowy).
8. Przegląd schematów.
9. Rozmaitości.
10. Nomogram Nr 10.

Czytajcie
tygodnik „Radio i Świat”

R A D I O

Miesięcznik dla techników i amatorów

Rok II

Styczeń — luty 1947 r.

Nr 1 — 3

Z kraju i zagranicy

KRÓTKOFALARSTWO

Jak nam komunikują, zatwierdzony został już statut Polskiego Związku Krótkofalowców. Ważniejsze wyjątki ze statutu podane zostaną w przyszłym numerze „Radia”.

ODBIORNIKI ANGLIJSKIE

Na wystawie londyńskiej „Britain Can Make It” pokazano nowe modele odbiorników zasługujące na uwagę ze względu na ciekawe rozwiązanie.



Rys. 1

Odbiornik przenośny (rys. 1). Czterolampowy super z wbudowanymi bateriami, całość nie wiele większa od aparatu fotograficznego (24 x 13 x 5 cm), waga zaledwie 2 kg. W naramienniku wbudowana jest antena ramowa. Zakres fal średnich. Odbiornik był wzorowany na typie produkowanych w czasie wojny dla organizacji ruchu oporu, spadochroniarzy i partyzantów.

Odbiornik lamy — Ekko — (rys. 2). Super Selo-lampowy na 3 zakresy fal zapalrzony dodatkowo w słynące klawiszowe

(5 klawiszy). Na falach krótkich 6 zakresów rozciągających i strojonych ruchomymi rdzeniami ferromagnetycznymi.



Rys. 2

Murphy A 104 (rys. 3). Nowe rozwiązanie odbiornika. Chassis ze skalą i głośnikiem umocowane jest do ozdobnej deski o wymiarach 46 x 61 cm, bez skrzynki. Odbiornik posiada podporkę umożliwiającą postawienie na stole czy na ziemi w różnym nachyleniu. Dzięki dużej powierzchni ekranu odtwarzanie tonów niskich jest wyjątkowo dobre; (charakterystyka równomierna od 70 c/s). 3 zakresy fal, 4 lampy + prostownica.



Rys. 3

*Elektro-techniczny
Warsz. at Instalacyjny
Zaborski Marian*

Zamiast rozciągnięcia fal krótkich zastosowano optyczne powiększenie skali. Mianowicie na osi kondensatora umocowana jest fotografia (przezroczysta) skali fal krótkich i przy pomocy optyki, rzucana na ekran umieszczony na płycie frontowej (na prawo od skali fal średnich i długich). W ten sposób uzyskuje się powiększenie skali krótkofalowej do długości 125 cm!

(z *Wireless World*)

NOWY DIELEKTRYK

W 1941 - 42 r. sowiecki uczynek B. M. Wul wynalazł nowy stały dielektryk, tytanian baru, oznaczający się niezwykle wysoką wartością stałej dielektrycznej — około 1000, a przy tym dość znacznie wytrzymały na przebiegi. Materiał ten wytwarza się w postaci masy ceramicznej. Niewielkie kondensatory, używane np. w radiu odbiornikach, sporządza się w możliwie prosty sposób, a mianowicie rurką lub krążek z tak spreparowanego tytanianu baru wypala się w piecu, powleka z obu stron pastą, zawierającą srebro i powtórnie wypala. Ściśle zespolone z dielektrykiem srebro stanowi okładki kondensatora. Dość znaczna grubość warstwy dielektryka powoduje wprawdzie zmniejszenie pojemności, ale ten ujemny wpływ równoważy z nadwyżką duża wartość stałej dielektrycznej, a grubość dielektryka daje zwiększenie wytrzymałości na przebiegi.

Przez zmieszanie tytanianu baru w odpowiednim stosunku z tytanianem magnezu lub strontu, które mają mniejszą stałą dielektryczną lub z tytanianem wapnia, który posiada ujemny współczynnik ciepłoty zmian stałej dielektrycznej, można uzyskać dielektryk o dowolnie — w szerokich granicach — wybranej stałej dielektrycznej lub współczynniku cieplnym. Ta ostatnia właściwość daje możliwość kompensacji zmian innych elementów obwodu, wywołanych zmianą temperatury.

Nowy dielektryk pozwoli ugrościć i zmniejszyć wymiary różnych części radiosaparatury. Pozwoli on budować małe i tanie kondensatory o ogromnej pojemności i wysokim napięciu przebiecia. Takie kondensatory znajdują zastosowanie w przemyśle elektrotechnicznym, pomagając zwiększyć współczynnik mocy wielu urządzeń.

Historia tego odkrycia jest przykładem światowej i logicznej pracy uczonego.

Po wykryciu właściwości tytanianu magnezu, którego stała dielektryczna równa się 15, Wul, analizując budowę siatki krystalicznej tego związku, doszedł do wniosku, że dla tytanianów pozostałych metali drugiej grupy układu Mendelejewa — węgla, strontu i baru — stała dielektryczna powinna wzrastać ze wzrostem ciężaru atomowego. Istotnie przeprowadzone badania dały dla tytanianu wapnia wartość 70, strontu — 150 i wreszcie baru — 1000.

(*Technika młodości* 46 r.)

Stan sieci stacji radiofonicznych w Europie

Bulletin de O. I. R., Janvier 1947

Dotychczas formalnie obowiązujący plan przydziału zakresu częstotliwości dla poszczególnych służb radioelektrycznych, uchwalony w Kairze w 1938 roku, zostanie zmniejszony przez konferencję międzynarodową w ciągu 1947 roku.

Po uchwaleniu nowego planu przydziału zakresów częstotliwości należy przystąpić do przydziału poszczególnych częstotliwości w zakresach przyznanych odpowiednim służbom. W wyniku powyższego stanie się aktualna sprawa przydziału częstotliwości w zakresach przyznanych radiofonii europejskiej. Plan przydziału częstotliwości musi być przyjęty przez wszystkie lub przynajmniej przez większą część radiofonii europejskich. Konferencja ostateczna w tej sprawie odbędzie się prawdopodobnie na początku 1948 roku.

Na przestrzeni historii radiofonii europejskiej porozumienie tego rodzaju osiągnięto trzykrot-

nie: w Paryżu w 1928 roku, w Lucernie w 1933 roku i w Montreux w 1939 roku.

Uczestnicy tych konferencji oraz ich doradcy techniczni za każdym razem usiłowali stworzyć plan podziału sprawiedliwy i logiczny, opierający się przede wszystkim na danych technicznych oraz danych geograficznych w najszerszym tego pojęcia zrozumieniu. Za każdym razem jednak stan faktyczny obsadzenia poszczególnych częstotliwości, istniejący w czasie obrad był jednym z zasadniczych czynników wpływających na powyższe decyzje. Uchwały konferencji w Paryżu, Lucernie i Montreux spotkały się z zarzutami braku podstaw obiektywnych i na ukowy; uchwały te uważano jako kompromisy mający stworzyć na pewien czas podstawy prawne dla istniejącego stanu faktycznego.

Jest niestety, że obecny stan radiofonii europejskiej ze względu na zniszczenia wojenne

i daleko idące zmiany, jakim uległy radioloniczne sieci przedwojenne, bardziej sprzyja stworzeniu logicznego planu przydziału częstotliwości, istniejący obecnie stan faktyczny jest tego rodzaju, że jego usankcjonowanie prawne jest niemożliwe i zamiast tego należy stworzyć zupełnie inny stan prawny.

Należy się jednak liczyć z tym, że te same względy, które wpłynęły na decyzje w przeszłości, zabraniają na nowo na konferencjach powojennych. Przede wszystkim wypłyną względy trudności finansowych i technicznych, które wywołałyby plan przydziału się liczący się zupełnie z sytuacją jedniścza.

Niezależnie od wszystkiego, pełna orientacja co do istniejącego stanu sieci radiofonicznej w Europie oraz obecnej tendencji rozwojowej tej sieci są bezwzględnie konieczne dla autorów przyszłego planu przewidzianego częstotliwości.

W ramach istniejącej krótkiej notatki trudno byłoby badać szczegółowo powyższą sprawę; wystarczy podać nieliczne dane statystyczne dla otrzymania ciekawych wniosków natury ogólnej.

Plan genewski (1926 rok) miał uporządkować sytuację 123 stacji nadawczych o średniej mocy około jednego kilowata.

W okresie konferencji w Pradze (1929 rok) w Europie pracowało 210 stacji nadawczych o łącznej mocy około 700 KW. Stacje te korzystały ze 174 częstotliwości w następujących zakresach:

▼	16 częstot. w zakresie	160 — 230 Kc/s
—	23 " " "	230 — 550 Kc/s
—	135 " " "	550 — 1500 Kc/s

W zakresach częstotliwości przydzielonych dla radiotelefonów przez Światową konferencję telekomunikacyjną w Waszyngtonie, konferencja w Pradze przydzieliła:

0	czyszczości wyłącznych w zakresie	160—230 Kcal
14	"	230—660 Kcal
169	"	"
2	"	wypieki dla 2 krajów
10	"	wypieki
1	"	do domow

w zakresie
500—1500 Kcal

Została w ten sposób uporządkowana sytuacja prawną 134 stacji nadawczych, a poza tym pozostały do dyspozycji częstotliwości wspólne. Ilość stacji mogła być zresztą większa, gdyż w ramach jednej radiofonii na jednej częstotliwości mogło pracować parę stacji.

W zakresie 550 — 1500 Kcs przydzielono więc do wyłącznego użytkowania 111 częstotliwości na 109 częstotliwości stojących do dyspozycji. Stosunek $111/109 = 1,02$ jest więc miarą „zapracowania” w tym zakresie.

Rozpatrzmy teraz sytuację istniejącą w 1933 roku tuż przed konferencją w Lucernie.

Zamiast 134 zagrożeń wyłączeniowych, które przewidywał plan praski, stacje radiofoniczne zajmują 179 zagrożeniowości, zaś ilość tych stacji jest równa 188. Ogółem ilość pracujących stacji radiofonicznych wzrosła do 238 (188 stacji poprzednio zamiankowanych plus 20 stacji dodatkowych poza zakresem przytaczanym dla radiofonii plus 50 stacji na falach wspólnych). Ogólna moc tych stacji wyniosła około 3650 KW z przewidywanym powiększeniem o 2400 KW tak, że moc ogólna wkrótce wyniosłaby około 6000 KW.

W zakresie 550 — 1500 Kčs na 100 częstotliwości, stojących nominalnie do dyspozycji, zostało obciążone 150 częstotliwości, przez co współczynnik zagęszczenia wzrósł do

$$\frac{150}{100} = 1.57$$

Konferencja w Lucernie uporządkowała stół europejski w ramach zakresów przyznanych dla radiotelegrafistów przez światową konferencję telekomunikacyjną w Madrycie (1932 rok), zgłoszenia zgłoszenia nie uległy jednak zmniejszeniu i strona prawa została dostosowana do stanu faktycznego.

Przydział częstotliwości został przeprowadzony w następujący sposób:

Zakres czę- stotliwości w KHz	Łódź przydzielonych częstotliwości
150 — 300	11 wyłączonych 2 wspólne (każda na 2 kraje) 1 wspólna dla 4 krajów
300 — 500	2 wyłączane 4 wspólne (każda na 2 kraje)
500 — 660	1 wyłączana 3 wspólne (każda na 2 kraje)
660 — 1500	34 wyłączonych 42 wspólne (każda na 2 kraje) 4 wspólne (każda na 3 kraje) 1 wspólna międzynarodowa

W zakresie 550 — 1500 Kčs przydzielono więc $54 + 42 \times 2 + 5 \times 3 = 133$ częstotliwości. Średnia $\frac{153}{101} = 1,5$ robł to wrażenie pogorsze-

nia sytuacji jednak tylko pozornie, bo Żernik został zmniejszony ze 109 na 101 przez zaniechanie korzystania z częstotliwości o separacji zaledwie 4,5 KHz.

Konferencja w Lucernie sankcjonowała więc istniejące już zagęszczenie stacji. Ilość przyda-
ków indywidualnych wynosiła $21 + 153 + 17 =$
 $= 191$. Z uwzględnieniem stacji zsynchroniz-

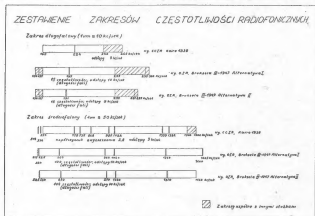
W sprawie projektów nowego rozdziału fal dla radiofonii europejskich

W Nr 10 „Radio” 1946 r. ukazał się artykuł inż. B. Fgłary pod tytułem „Europejski plan rozdziału fal dla radiofonii”. Autor opierając się na planie Brytyjskiej Rady Przemysłu Radiowego (Radio Industry Council) opublikowanym między innymi w miesięczniku Wireless World, 1945, Nr 9, snuje „plany zasilania obszaru Rzeczypospolitej Polskiej dwiema stacjami ogólnopolskimi i jedenastoma stacjami regionalnymi”. Uwa-

żamy, że zanim rozpatrzy się plany w tej dziedzinie, należy zdać sobie sprawę z sytuacji obecnej, w związku z przydziałem fal w skali ogólnowiatowej, uwzględniającej potrzeby wszystkich służb radiokomunikacyjnych, z których każda, jak i radiofonia, rada by jak najbardziej powiększyć ilość przydzielonych jej długości fal (poszerzenie zakresu częstotliwości).

Ostatnia konferencja ogólnowiatowa, w której były reprezentowane ministerstwa poczty i telegrafów wszystkich państw, odbyła się w roku

1938 w Kairze. Na tego rodzaju konferencjach, ministerstwa poczty i telegrafów reprezentują potrzeby wszystkich służb radiokomunikacyjnych swych państw, a więc potrzeby marynarki, lotnictwa, komunikacji pocztowej radiotelegraficznej i radiotelefonicznej, radiofonii itp. Od roku 1938 powstało „szereg nowych służb, a szereg istniejących, jak radiolokacja itp. wspaniale się rozwijają, posiadając pierwszorzędne znaczenie



Rys. 1, Skala 1 : 2.

* Dla przykładu można przytoczyć, że pewne słowo-wo-wo już systemy radiolokacji używają częstotliwości sąsiadujących z częstotliwościami radiokomunikacji: „Hyperbolic System” 80–150 kHz, system „Medium Frequency Radio Beacon” 250–320 kHz, system „The Coastal Navigation System” 250–300 kHz (Wg „International Meeting on Radio Aids to Marine Navigation, May, 1937”).

działania były uwzględnione, co może się odbyć tylko kosztem uszczuplenia stanu posiadania służb istniejących w 1938 r. Należy się więc liczyć z tym, że stan posiadania radiofonii z roku 1938 w zakresie średnio i długofalowym w najlepszym wypadku pozostanie bez zmiany. Projekt brytyjskich przemysłowców jest nierealny, bowiem przewiduje dla radiofonii między innymi zakresy fal 690—1000 m od dawna będący do dyspozycji innych służb, a właśnie według tego projektu ogólnopolskie stacje radiotelegraficzne miały pracować w tym zakresie.

Ostateczny plan przydziału fal dla poszczególnych radiofonii europejskich będzie mógł być ustalony dopiero po określeniu zakresów radiofonicznych przez konferencję U.I.T. (Union International de Telecommunication), która rozpocznie się w dn. 15 maja br. w Atlantic City (U.S.A.) i trwać będzie około 5 miesięcy.

Potrzeby radiofonii na tej konferencji będą reprezentowane przez delegatów ministerstw poczt i telegrafów poszczególnych państw, a o ile ci zgodzą się na udział przedstawicieli O.I.R. (Organisation International de Radio Diffusion) w charakterze ekspertów w sprawach radiofonii europejskich, także i przez Polskie Radio będące członkiem O.I.R. Przedstawiciel P.R. brał udział w kwietniowej konferencji O.I.R. w Monako, której obrady dotyczyły między innymi także nowego planu rozdziału fal między poszczególnymi radiofoniami europejskimi. W związku z tym Ośrodek Techniczny O.I.R. w Brukseli opracował wspólny projekt zakresów częstotliwości radiofonicznych i rozdziału fal między ra-

diofonie europejskie w dwóch alternatywach (rys. 1).

Za minimalny potrzeb dla radiofonii europejskich wg tego projektu uważa się wyłączny zakres długofalowy 150—255 kc/s, (w pasmie 250—300 przewiduje się wspólną pracę radiofonii z innymi służbami) i wyłączny zakres średniofalowy 525—1600 kc/s. Ten wybór zakresów fal prawie pokrywa się z wytycznymi przysłanego rozdziału fal, opracowanymi na konferencji telekomunikacyjnej w Moskwie, w listopadzie 1946 r. (wysunęło tam projekt wyłącznego zakresu długofalowego, radiotelegraficznego 150—300 kc/s i średniofalowego 515—1600 kc/s).

Wg projektu O.I.R. Polska otrzymałaby pięć niezależnych fal, w tym jedną w zakresie długofalowym; częstotliwości odpowiadające tym falom zaznaczono na rys. przedstawiając zakresy radiofoniczne: długo i średniofalowy wg postanowień konferencji w Kairze, 1938 r., z zaznaczonymi grubszymi kreskami częstotliwościami, używanymi przez Polskie Radio w okresie przedwojennym.

Alternatywa pierwsza projektu O.I.R. przewiduje w zakresie długofalowym 150—300 kc/s długości fal z odstępem co 10 kc/s a w zakresie średniofalowym 109 długości fal z odstępem co 10 kc/s. Alternatywa druga tegoż projektu przewiduje w zakresie długofalowym 150—285 kc/s 15 długości fal z odstępem co 9 kc/s oraz w zakresie średniofalowym 525—1600 kc/s 104 długości fal z odstępem co 10 kc/s. Zaletą w tym rozdziale fal między radiofonie europejskie winno zmniejszyć współczynnik zagęszczenia radiostacji w Europie (stosunek liczby czynnych w Europie stacji do liczby szeregów przydzielonych dla tych celów fal).

Niewątpliwie projekt O.I.R. posiada również pewne wady. Z drugiej strony plan przydziału długości fal poszczególnym radiofoniom europejskim, rzecz oczywista, nie może przybrać od razu ostatecznej formy, bo do tego niezbędna jest zgoda każdej radiofonii europejskiej, a sytuacja obecna (patrz art. „Stan sieci radiotelegraficznych w Europie”) wymaga rozwiązań radykalnych, a przez to bolesnych dla poszczególnych radiofonii. Układając więc plany rozmowy jakiejś konferencji bądź radiofonii należy się bardzo liczyć z sytuacją międzynarodową w tej dziedzinie.

Źródła: „Documents de la Conference des Telecommunications de Cairo, 1938”.

„Documents de la Conference de Telecommunications de Moscou, 1946”.

Bulletin de O.I.R. C.T. 113/B. 23, Mars, 1947”.

PRZEDSTAWICIELSTWO

firmy

"PHILIPS"

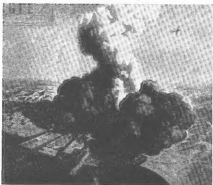
(N. V. Philips Gloeilampenfabrieken,
Eindhoven - Holland)

nieści się tymczasowo:

**WARSZAWA - HOTEL BRISTOL -
pokój 424 — telefon 8-73-93**

Biurowo czynne w godz. 9—15

Fizyka atomowa



Dośń grozy w Hiroszynie (9. VIII 1945)
(z Radiomater 246)

Z niniejszym numerem rozpoczynamy druk cyklu artykułów z dziedziny nowoczesnej fizyki atomowej. Istnieją dwie ważne przyczyny, które skłoniły nas do zamieszczenia na łamach naszego pisma tego rodzaju artykułów, po pierwsze nie związanych z zasadniczym tematem radiotechniki.

Pierwszy powód, to epokowe znaczenie odkryć w tej dziedzinie, odkryć, które przyczyniły się do wszystkich innych osiągnięć nauki. Znaczenie to jest w pełni sprawiedliwie, biorąc pod uwagę doniosłą rolę, jaką odkrycia te mogą w krótkim czasie odegrać dla ludzkości, pomijając zastosowanie ich w bombie atomowej.

Drugim powodem jest niepołączona rola, jaką urządzenia radiotechniczne odgrywają w laboratoriach badań atomowych. Dość nadmienić, iż urządzenia te są różnorodne i w laboratoriach spotykają się na każdym kroku, a bez ich udziału badania współczesne byłyby nie możliwe. Dlatego dla radiotechnika jest szczególnie pożądane, aby orientował się w zagadnieniach nowoczesnej fizyki atomowej.

RZUT OKA NA HISTORIĘ ROZWOJU BADAŃ ATOMOWYCH

Wzręćmy się na ogół zdania, iż okres czasu od pierwszych badań wewnętrznej budowy atomów, aż do odkrycia bomby atomowej, okres, który można określić na jakieś lat 60 (długość życia jednego pokolenia!!) jest niebywale krótki. Istotnie w porównaniu z szybkością rozwoju nauki we wcześniejszych okresach historycznych, okres ten może się wydawać błyskawiczny.

Biorąc jednak pod uwagę z jednej strony mozolną i żmudną pracę tysięcy badaczy w setkach laboratoriów, śledzących wiele lat nieraz nad pojedynczym problemem, czy też nad wąskim odcińkiem pewnego ogólniejszego zagadnienia, czy wreszcie nad udoskonalaniem lub konstrukcją nowych aparatów laboratoryjnych, a z drugiej strony szybkość z jaką rozchodzą się w naszych czasach wyniki poszczególnych osiągnięć, można w części wytłumaczyć sobie ten błyskawiczny rozwój. Nie mniejsza to jednak zasługi uczonych, których badanie szczególnie nad jądram atomowym można określić jako błędnie po omacku, z czego wybrnięcie wymagało zarówno wielkiego geniuszu, jak i niebywalej wytrwałości.

Prawie, aż do końca ubiegłego wieku panował w nauce pogląd, który sprowadzał całą różnorodność wszechświata do około 90-ciu pierwiastków składających się każdy z odrębnego gatunku atomów. Atomy pierwiastków miały być tymi najmniejszymi niepodzielnymi, niezmienialnymi i niezmiennymi cegiełkami budowy wszechświata. Już jednak w tym okresie rozmaite fakty z dziedziny elektryczności, jak elektryzacja przez tarcie, zjawiska elektrochemiczne w ogniwach, a najjaszawiej zjawiska towarzyszące elektrolizie doprowadziły do wniosków, że elektryczność jest częścią składową każdej materii i najprawdopodobniej również składa się z drobnych cząstek, atomów elektryczności.

Pierwszymi badaniami, które włączyły w głąb atomu i przyczyniły się do poznania we-

wewnętrznej jego budowy były badania zjawisk zachodzących przy wyładowaniach w silnie rozrzedzonych gazach. Trwały one kilka dziesiątków lat w drugiej połowie ubiegłego wieku i w rezultacie wyodrębniono trzy rodzaje promieniowania towarzyszącego wyładowaniom: promienie katodowe, kanalikowe i Roentgena. Promienie katodowe i kanalikowe pod działaniem poprzecznego pola elektrycznego lub magnetycznego odchyłaly się od pierwotnego, kierunku każde w stronę przeciwną.

W wyniku tych obserwacji promienie katodowe okazały się tymi elementarnymi cząsteczkami ujemnie naładowanej elektryczności, nazywanymi później elektronami. Dzięki badaniom głównie G. Thomsona została (w r. 1897) określona ich masa. Okazała się ona około 1800 razy mniejsza od najbliższego z atomów, atomu wodoru (H). Ładunek elektronu został pierwotnie hipotetycznie wyznaczony na podstawie zjawisk elektrolizy, a później dopiero potwierdzony w doświadczeniach z promieniami katodowymi i kanalikowymi m. B. Bezpośrednią drogą został najmniejszą elementarny ładunek elektryczności zmierzony dopiero w roku 1912 przez Millikana. Ładunek ten był zawsze równy niezależnie od znaku i odpowiadał wyznaczonej poprzednio wielkości dla elektronu. Tym sposobem kwestia elektronu jako elementarnego ładunku elektryczności (ujemnej) została ostatecznie wyjaśniona.

Dodatkowo naładowane promienie kanalikowe badane w analogiczny sposób wykazały, że masa dodatnich cząsteczek równa jest masie atomów gazów zawartych w kolbie czyli, że promienie powyższe są to dodatnio naładowane atomy, dodatnie jony.

Elementarnych cząsteczek dodatniej elektryczności o masie elektronu, czyli „dodatnich elektronów” nie wykryto. Ładunek dodatnich cząsteczek promieni kanalikowych okazał się równym ładunkowi elektronu względnie dwu lub trzykrotnie większy. Tylko w przypadku, gdy gazem zamkniętym w kolbie był wodór, ładunek ten był zawsze pojedynczy, równy ładunkowi elektronu.

Między innymi, gdy w kolbie był zawarty hel (He) promienie kanalikowe zawierały jego dodatnio naładowane atomy o ładunku dwukrotnym, które Rutherford w r. 1903 utożsamiał z cząsteczkami α (alfa) wysyłanymi przez rad.

Trafił rodzaj promieni, wykryty przez Roentgena i nazwany jego imieniem, nie odchyłaly się pod wpływem pola elektrycznego lub magnetycznego. Były to promienie elektromagnetyczne, ale o długości fali w przybliżeniu 10000 razy krótszej niż dla światła widzialnego.

Dokładna diagnoza fali tych promieni udało się zmierzyć Lané'emu i braciom Bregg, jednak dopiero w r. 1912 przez zaobserwowanie naturalnych kryształów, jako siatki dyfrakcyjnej, oraz Comp-

tonowi w r. 1922 przy pomocy zupełnie odmiennej metody, Promienie Roentgena odegrały ogromną rolę w wyjaśnieniu zbudowania budowy atomu. Przy ich pomocy zdołał Barkel w 1909 r. określić liczbę elektronów dla różnych pierwiastków, a Mości, analizując systematycznie zbudowane spektry promieni rentgenowskich zdołał wyjaśnić (r. 1913) rolę porządkowego numeru pierwiastka, według tablicy Mendelejewa, a nawet przewidzieć istnienie nieznanych (wówczas) pierwiastków.

Numer porządkowy okazał się ważniejszą daną określającą cechy pierwiastków, niż ich ciężar atomowy, a Van de Broek wskazał ponadto (r. 1913), że numer porządkowy jest akurat równy liczbie elektronów danego pierwiastka.

Ale wróćmy nieco wstecz. W roku 1903 została przez Crooksa, Elstera i Gilla opracowana nowa metoda wykrywania pojedynczych naładowanych cząsteczek, tak zw. metoda scyntylacji.

Naelektryzowane cząsteczki uderzają o ekran, pokryty siarczkiem cynku, powodując w punkcie uderzenia rozbiyski zwane scyntylacjami. Przez szereg lat ta trudna metoda badawcza polegająca na liczeniu rozbiysków była powszechna i niezastąpiona u badaczy atomowych i setki ich śledzących miejscami nad ekranem, psując oczy i skupiając uwagę, aby przy liczeniu nie popełnić omyłek. Ta metoda też właśnie posługiwał się Rutherford z współpracownikami (Geiger, Marsden, Chadwick) kierując promienie α na cienkie metalowe blaszki i badając przenikalność promieni przez nie. Doszedł on do wniosku, że materia nie zapelnia szczelnie zajmowanej przestrzeni, że pomiędzy elementami materii istnieją nieporównanie większe puste przestrzenie. Dalej że wewnątrz materii istnieją liczne względnie słabe pola powodujące rozproszenie cząstek α za blaszką, oraz nieliczne silne pola powodujące odbicie niektórych cząstek α wykrywanych na ekranie umieszczonym przed blaszką.

Rezultaty te oraz wyniki badań nad promieniami katodowymi i kanalikowymi doprowadziły Rutherforda do ogłoszenia w 1911 r. koncepcji, według której atom miał się składać z dodatniego jądra skupiającego całą masę atomu i krążących wokół elektronów na podobieństwo układu planetarnego.

Dodatni ładunek jądra miał przy tym równoważyć ładunki wszystkich elektronów. Był to model atomu Rutherforda. Model ten pozwalał objasnić magnetyczne właściwości materii (krążenie elektronów można uważać jako kołowe prądy) oraz optyczne jak załamwanie, rozpraszanie i odbijanie promieni świetlnych (obecność licznych pól elektrycznych działających na promienie elektromagnetyczne) przy czym o właściwościach tych stanowi warstwa elektronowa. Istniały również przypuszczenia, że warstwa elektronowa zawiera w sobie właściwości chemiczne materii.

W Istocie badania następnych kilku lat prowadzonych przez Bohra, Starka, Kossela i wielu innych nie tylko potwierdziły powyższe przypuszczenia, ale wykazały, że o właściwościach chemicznych decyduje nie wszystkie elektrony danego pierwiastka, ale tylko ich sama zewnętrzna warstwa. Model Rutherforda nie umiał jednak objaśnić wielu zasadniczych momentów, a między innymi składu widmowego wysyłanych i pochłanianych promieni oraz samego mechanizmu emisji elektromagnetycznej (promieniowania). Należy z kolei wspomnieć teraz o wielkich nowopowstałych wówczas teoriach ogólnych, które wyszły z ram, a nawet przeciwstawiły się wszechwładnie panującym dotychczas naukom klasycznym, mechanice Newtona, geometrii Euklidesa i teorii elektromagnetycznej Maxwella. Pierwszą z wielu teorii kwantów ogłosił na przełomie w 1900 roku wydawała się w chwili jej powstania raczej szalonej. Stanowiła ona rozpaczliwą próbę matematycznego sformułowania ogólnego prawa emisji promieni elektromagnetycznych (świecenia) przez rozrzuconą materię. Dotychczasowe próby rozwiązania tego zagadnienia na podstawie istniejących teorii były sprzeczne z doświadczeniami. Z formuły matematycznej Plancka, która okazała się zgodna co do jej z doświadczeniem, wynikała jednak korpuskularna natura światła, sprzeczna z dotychczasowymi założeniami teoretycznymi.

Druga teoria ogłoszona przez Einsteina w roku 1905, teoria względności, powstała raczej na sozważaniach teoretycznych. Niezgodna z nauką klasyczną i trudna do przyjęcia jako nieopracowana, a nawet dla wielu sprzeczna ze zdrowym rozsądkiem, została jednak potwierdzona przez fakty i szlifowane doświadczenia. Bliżej nie będziemy się nią zajmować, podamy tylko jeden wynikający z tej teorii wniosek, mający zasadnicze znaczenie dla fizyki atomowej, a mianowicie, że materia jest pewną formą energii i że ta energia zawarta w materii jest bardzo duża, równa się bowiem masie pomnożonej przez kwadrat szybkości światła. Obie powyższe teorie wywołały zasadniczy wpływ na teorię budowy atomów.

Teoria kwantowa Plancka została zastosowana przez Nielsa Bohra, który zmodyfikował, według niej model atomu Rutherforda (r. 1913). W ten sposób powstały model atomu Bohra, podporządkowany teorii kwantowej, okazał się tak doskonały, że objaśniał szereg niewytłumaczonych dotychczas zjawisk, a w szczególności widmo spektralne, w sposób zupełnie dokładny i ilościowo zgodny z doświadczeniem. Odrotnie, dzięki sukcesowi modelu Bohra, korpuskularna teoria światła, wynikająca z równań Plancka tylko formalnie, okazała się wielką prawdą rządzącą zjawiskami we wszechświecie. Częstotliwość światła (fotonem) oprócz określonej energii przypisał Einstein w r. 1917. także i pęd, a potwierdził

to doświadczenie Compton w r. 1923, badając zderzenie fotonów z elektronami i stwierdzając, że przy takich zderzeniach utrzymuje się w mocy zarówno prawo zachowania energii, jak i prawo zachowania pędu, jak gdyby foton był zwykłą cząstką materialną. Dalej prace Francka, Hertz, Sommerfelda, Kossela i innych udoskonaliły model Bohra, tak, że zostały wyjaśnione ilości i sposób rozmieszczenia elektronów w różnych pierwiastkach, sprawa powinowactwa chemicznego, szczegóły powstania i budowy widm itp. Szczególnie wygłoszona w r. 1925 przez Pauli zasada wykluczenia powstanie układu periodycznego pierwiastków. Z drugiej jednak strony wszystkie zjawiska wykazujące falową naturę światła nadal pozostały w mocy i nie wynikały żadnym sposobem z teorii kwantów. Nauka zaczęła przeżywać w latach 1913 — 1925 wielki kryzys, spowodowany istnieniem dwóch równoprawnych przez doświadczenie teorii światła, korpuskularnej i falowej, nie stających pozorem nie ze sobą wspólnego. Nadomiar do Boga nie jeszcze w 1914 r. wysunął hipotezę, że materialnym cząstkom można również przypisać naturę falową. Wypisał on zależności wiążące masę i szybkość cząstki z szybkością rozchodzenia się fali „materialnej” i z jej długością (λ). Zależności te wyglądały czysto formalnie. Jednakże w późniejszych latach w doświadczeniach, w których promienie katodowe (elektrony) odbijały się od powierzchni metalowej, zauważono zjawisko dyfrakcji, które można wytłumaczyć tylko falową naturą tych promieni. To samo zjawisko udało się nawet zaobserwować w wypadku odbicia strumienia neutralnych cząstek gazowych wodoru lub helu. Kryzys wywołany tym dualizmem został zażegnany przez kwantową mechanikę opracowaną przez de Brogliego, Heisenberga i Schrödingera (r. 1925). Ten ostatni zastosował ją do atomu Bohra (r. 1926) i oddał trudności wynikające z przedstawienia atomu w postaci układu planetarnego, oraz nadal głębiej sens szcześnie postulatów trwałości orbit elektronowych a także liczbom kwantowym z teorii widma. Z drugiej strony kwantowa mechanika będąca właściwie teorią czysto matematyczną i występującą w formie równań różniczkowych, zrywa zupełnie z znacznym, fizycznym obrazem procesów zachodzących w atomie. Różne stany atomu ukazują się w niej jako odpowiednie rozwiązanie równań różniczkowych, elektron przestaje w niej być kulką, której można w każdym momencie ściśle określić położenie i szybkość poruszania się. Mimo jednak tej nieopracowości mechanika kwantowa dochodzi do licznych konkretnych wniosków, które sprawdzają się doświadczenie, a których poprzednie teorie wyjaśnić nie umiały.

Reasumując, obraz atomów w latach 1930-tych przedstawia się mniej więcej tak: elektrony poruszają się we wzajemnych polach i w polu dodatnio naładowanego jądra, zgodnie z prawami

kwantowej mechaniki i doczą się przedstawić odpowiednimi równaniami różniczkowymi. Elektronom nie można wyznaczyć żadnego pewnego położenia, lecz tylko prawdopodobieństwo ich znalezienia się w takim a-takim miejscu. Liczba elektronów jest charakterystyczną dla każdego pierwiastka i równa się jego numerowi porządkowemu w układzie okresowym. Powłoka elektro-

nowa decyduje o właściwościach chemicznych i opieczonych pierwiastka. Natomiast jądro skupia w sobie całą prawie masę atomu i jego cały dodatni ładunek, równy w bezwzględnej wartości ładunkowi wszystkich elektronów w atomie. W jądrze zatem według teorii Einsteina znajduje się ogromny zapas energii „materiałnej”.

D. c. n

Odbiorniki superreakcyjne

(Dokończenie)

Największe wzmocnienie daje taka czystość: generatora zmiany tłumienia, która daje dożyć czasu w ciągu każdego okresu na wzrost drgań do wartości granicznej oraz ich zanik.

2. Automatyczna regulacja wzmocnienia.

Upřednio podany przykład liczbowy wskazywał, że 1000-krotne zwiększenie napięcia początkowego zmniejsza ilość okresów, niezbędnych do osiągnięcia wartości granicznej drgań wysokiej częstotliwości, z 269 na 127 okresów. Zmiana siły sygnału początkowego, wywołana przez modulację, jest słyszalna w słuchawkach. Zmiana ta może być mierzona w ilości okresów, niezbędnych dla dojścia do granicznej wartości drgań wysokiej częstotliwości. Niech dwa sygnały różnej amplitudy będą modulowane w 50 proc.

wy — mamy więc idealną automatyczną regulację wzmocnienia. Praktycznie wyniki są cokolwiek gorsze, ze względu na nieliniowość charakterystyk lamp oraz ze względu na to, że sygnały słabe są różnorodne z napięciami szumów własnych układu.

Na rysunku 7 jest podana rzeczywiste osiągalna zależność między napięciem wyjściowym i napięciem wejściowym.

3. Szumy.

Źródło szumiącego dźwięku w słuchawkach odbiornika superreakcyjnego oraz jego zanik w obecności silnej fali nośnej zostało już upřednio wyjaśnione. Założmy, że czystość fali bbb amplituda generatora zmiany tłumienia została powiększona tak, że drgania wysokiej częstotliwości mają zbyt mało czasu na zanik do poziomu szumów własnych na początku następnego dodatkowego okresu generatora zmiany tłumienia. W tej chwili zanikające drgania wysokiej częstotliwości posiadają amplitudę wielokrotnie wyższą od amplitudy szumów własnych i amplituda tych drgań będzie napięciem wyjściowym od którego rozpocznie się „zarastanie” drgań. W warunkach takich charakterystyczny szumiący dźwięk superreakcji nie jest słyszalny w słuchawkach. Przy nastrajaniu odbiornika otrzymujemy gwałtowne interferencyjne fali nośnej z drganiami własnymi odbiornika.

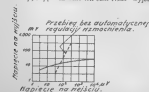
4. Tłumienie zakłóceń.

W zakresie ultra-krótkofalowym najczęściej mamy do czynienia z zakłóceniami, wywołanymi przez zapłon silników samochodowych, które dają bardzo ciche, lecz krótkotrwałe i odseparowane od siebie impulsy drgań. Zakłócenia powyższe ujawniają się w słuchawkach jako „puknięcia”. Rozpatrzmy wypisany impuls OCDE z rysunku 6, odpowiadający półokresowi dodatkowego generatora zmiany tłumienia w obecności odbieranej fali nośnej. Jakkolwiek sygnał dodatkowy wysokiej częstotliwości w czasie DE napotyka odbiornik w stanie nasycenia drganiami, a przeto niewrażliwy na wpływy zewnętrzne.

Podczas DE drgania zanikają. W punkcie O odbiornik jest bardzo czuły, jednak prawdo-

Napięcie modulowanej fali nośnej	Ilość okresów, w ciągu których drgania osiągały wartość graniczną 5 woltów przy 5% wzroście na jeden okr.
Srednia wartość 10 μ V	269
min. — 5 μ V	269
max. — 15 μ V	127
Srednia wartość 500 μ V	1429
min. — 500 μ V	1429
max. — 1500 μ V	119

Sygnały wyjściowe różniące się znacznie co do swej intensywności przy tej samej głębokości modulacji, dają dokładnie ten sam efekt „wyjścio-



Rys. 7. Typowa charakterystyka regulacji automatycznej wzmocnienia układu superreakcyjnego przy 30% głębokości modulacji.

podobieństwo jest bardzo małe, by impuls zakłóceń kształcił akurat nie w tym momencie. W zakresie od 0 do 0 wpływ impulsu jest coraz mniej zauważalny. Można więc powiedzieć, że większa część zakłóceń zostaje w ten sposób eliminowana.

5. Zniekształcenia.

Zestawiając rozpatrywane przykłady liczbowe, otrzymujemy, że sygnał o napięciu 10000 μ V wzrastając o 5% w ciągu każdego okresu, osiąga wartość 5 V w ciągu 197 okresów. Przy 50% modulacji dodatnie amplitudy modulacji skracają ten czas o 8 okresów, zaś ujemne amplitudy wydłużają go o 15 okresów. Modulacja jest więc zniekształcona i to tym bardziej, im większa jest głębokość modulacji. Utrzymując głębokość modulacji poniżej 80% mamy zrozumiałą mowę, jednak dla odbioru audycji o wysokiej jakości odbiorniki superreakcyjne nie nadają się.

6. Selektywność.

Przy prostokątnym kształcie sygnałów gen. zm. tłum. zaobserwowano, że czas wzrostu drgań wysokiej częstotliwości jest określony przez amplitudę jakiegokolwiek napięcia obecnego w obwodzie w chwili przejścia do dodatniego półokresu generatora zmiany tłumienia. Selektywność układu nie jest więc lepsza, niż samego obwodu rezonansowego przy ω większym od zera.

W zakresie ultra - wysokich częstotliwości ma to pewne zalety, gdyż strojenie odbornika o dużej selektywności w tym zakresie przypomina przysyłowe poszukiwanie igły w stogu siana. Należy jednak stwierdzić, że układ superreakcyjny pozwala na zwiększenie selektywności, a mianowicie za pomocą odpowiedniego kształtu krzywej gen. zm. tłum. Napięcie w półokresie ujemnym ma za zadanie osłabić drgania wysokiej częstotliwości. O ile kształt krzywej tego ujemnego półokresu jest tego rodzaju, że po osłabieniu drgań mamy bardzo łagodne przejście do półokresu dodatniego, to obwód zamknięty jest przed tym przejściem na granicy powstawania drgań i pracuje w warunkach sprzężenia zwrotnego i wzmacnia sygnały o częstotliwości rezonansowej. Sygnały o częstotliwościach innych, niż częstotliwość rezonansowa obwodu i szumy nie są więc wstępnie wzmacniane. Selektowność oraz stosunek napięcia sygnału użytecznego do napięcia szumów mogą być więc polepszone przez zastosowanie sinusoidalnego kształtu napięcia generatora zmiany tłumienia. Częstotliwość oraz amplituda tych impulsów muszą być możliwe niskie, zaś sprzężenie zwrotne układu winno być możliwie duże. Zamiast nagłych przejść od dużych dodatnich wartości r do dużych wartości ujemnych r , jak to ma miejsce przy prostokątnych impulsach napięcia, mamy w obwodzie r bliskie zero w ciągu dłuższego czasu.

7. Promieniowanie.

Z rysunku 4 widać, że układ wypromieniowuje moc wysokiej częstotliwości za pośrednictwem

anteny. Chcąc temu zapobiec należy pomieścić antenę, a układem z rys. 4 dać stopień wzmożenia wysokiej częstotliwości oraz odpowiednie ekranowanie.

8. Nieprawidłowe warunki pracy.

Niektóre z przyczyn nieprawidłowej pracy już zostały podane; najczęściej spotykana przyczyną jest zbyt duża częstotliwość generatora zmiany tłumienia, inną przyczyną jest dążność, by jedna lampa spełniała wszystkie funkcje układu. Na rysunku 4 mamy lampowy generator do zmiany tłumienia, umieszczony w obwodzie anodowym. Zmiana tłumienia przez oddziaływanie w anodzie wymaga znacznej mocy, lecz daje stale i pewne warunki pracy.

Początek drgań wys. częstotl.



Rys. 8. Schemat Fliewellinga.

Można zaoszczędzić dodatkową lampę, wprowadzając zmianę tłumienia przez obwód statkowy, jednak nastrojenie wymaga wówczas dużej zręczności oraz szczęścia. Jako przykład takiego układu może służyć układ Fliewellinga, który jest szczytem prostoty i oszczędności.

Drgania wysokiej częstotliwości powstają tu z dużą siłą i trwają dłużej, póki ich nie stłumi ładunek nagromadzony pod wpływem tych drgań na kondensatorze statkowym. Po rozładowaniu się kondensatora, drgania znów powstają. O ile proces powtarza się z częstotliwością ponadsluszną, mamy tu połączenie generatora drgań wysokiej częstotliwości oraz generatora zmiany tłumienia. Częstotliwość zmiany tłumienia zależy od siły drgań wysokiej częstotliwości oraz od wartości pojemności i oporu upływowego. Napięcie na statce zmienia się wg. wykresu na rysunku 9.



Rys. 9. Zmiany napięcia na statku w układzie Fliewellinga.

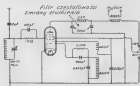
Układ Fliewellinga nie jest zbyt uniwersalny, lecz nadaje się do pracy na określonej i bardzo wysokiej częstotliwości.

Jako jednolampowy układ superreakcyjny można polecić układ z rysunku 10.

Zastosowano w nim obwód, lecz również dobrze może być użyta hexoda lub tróda-hexoda.

Pierwsze dwie slatki są użyte jako generator zmiany tłumienia, zaś częstotliwość wysoka doprowadzona jest do slatki sterującej.

Układ jest na pozór podobny do schematu superheterodyny, gdyż na pierwszy rzut oka nie widać sprzężenia zwrotnego. W zakresie bardzo wysokich częstotliwości drgania jednak powstają w układzie Colpita przez sprzężenie pojemnościowe wewnątrz lampy.



Rys. 10. Schemat odbiornika superreakcyjnego.

Dotychczas zakładaliśmy, że drgania wysokiej częstotliwości mają możliwość osiągnięcia granicznej amplitudy. Można jednak, tak dalece zwiększyć częstotliwość zmiany tłumienia, że drgania wysokiej częstotliwości nie mają możliwości dojścia do amplitudy granicznej i rodzaj pracy jest wówczas inny (rys. 11).

O ile drgania rozpoczą się przy amplitudzie $10 \times V$ z 5% przyrostem na każdy okres, to na przykład po 150 okresach amplituda drgań będzie równa

$$10 \cdot 1,05^{150} = 10 \times 1440$$

Podwojenie napięcia wejściowego da podwojenie napięcia wyjściowego. Wyjście jest wprost proporcjonalne do wejścia.



Rys. 11

Rys. 11. Przebieg w liniowym rodzaju superreakcji — drgania wys. częstotliwości nie dochodzą do amplitudy granicznej.

Przy pracy tego rodzaju wzmacnienie za 1 okres częstotliwości zmiany tłumienia jest mniejsze, a za to mamy więcej okresów tej częstotliwości, selektywność jest wówczas mniejsza, brak jest automatycznej regulacji wzmacnienia, nie ma zniekształceń.

Ten rodzaj superreakcji stosowany jest w odbiornikach radarowych, służących do rozróżniania samolotów lub statków własnych od nieprzyjacielskich.

opracował W. R.

Fizyczne podstawy pracy klustrona

Szybki rozwój radiolokacji związany był z wprowadzeniem do techniki fal zakresu decymetrowego i centymetrowego. Normalna lampa elektronowa okazała się dla tak wysokich częstotliwości zbyt bezwładna. Reagowanie jej na bardzo szybkie zmiany napięcia, przyłożonego do siatki — np. dla fali 3 cm sinusoidalne napięcie ma siatkę zmieniać się 10 000 000 000 razy w ciągu sekundy — jest zbyt powolne i waha się prądu anodowego nie nadążają za wahaniem napięcia sterującego. Łatwo to zrozumieć jeśli się weźmie pod uwagę, że w podanym przykładzie czas okresu drgań równa się dziesięciu miliardowej części sekundy i jest znacznie krótszy od czasu przelotu elektronów z katody do anody. Częstotliwości, odpowiadających falam decymetrowym i centymetrowym, nie można więc wytworzyć w zwykłej lampie elektronowej. Do uzyskania tego służą lampy, oparte na nowych odmienionych zasadach, zwane klustronami. Ten zasadniczo nowy proces polega na odpowiednim grupowaniu czyli ogrzyskowaniu ładowym elektronów. Cechą jego jest uniezależnienie działania lampy od czasu przelotu elektrona, co właśnie pozwala na otrzymanie dowolnie szybkich

drgań. Klustron został skonstruowany w 1939 r. przez Braci R. H. i S. F. Varian. Dla łatwiejszego zrozumienia pracy klustrona rozpatrzmy najpierw oddzielnie szereg zachodzących w nim zjawisk.

a) „Działo elektronowe”, składające się z podgrzewanej katody i otaczającego ją układu elektrod o odpowiedniej formie i określonych napięciach, wytwarza skupioną strumień elektronów, pędzących w jednym kierunku z dużą i jednokową dla wszystkich elektronów prędkością. Teoria tego urządzenia opracowana była już dawniej w ramach optyki elektronowej. Jeżeli jednak w tych ostatnich zwraca się dużą uwagę na zogniskowanie (elektronów) względem prostej w bardzo skupioną wiązkę, to w klustronie wymagania pod tym względem są niewysokie.

b) Następnym procesem, któremu poddaje się elektrony, jest modulacja prędkości, tj. okresowe zmniejszanie i zwiększanie ich prędkości w stosunku do średniej, podobnie jak to się dzieje z amplitudą prądu przy modulacji amplitudy. Elektrony wychodzą

ce z katody przebiegają ze stałą prędkością przez dwie blisko siebie położone siatki. Je-
żeli teraz do siatek tych zostanie przyłożo-
ne zmienne napięcie, to w niewielkiej prze-
strzeni między nimi pojawi się zmienne
pole elektryczne, które w ciągu jednego
pół okresu będzie przyspieszało strumień
elektronów, w ciągu zaś drugiego pół okre-
su hamowało. W przestrzeni poza siatkami
będzie wybiegał strumień elektronów o
periodycznie zmiennej, zmodulowanej prę-
dkości. Przestrzeń między siatkami nazywa
się niekiedy „soczewką fazową”.

- c) Z kolei elektrony wpadają w tak zw. „prze-
strzeń polotu” (drift space). W przestrze-
ni tej w zależności od konstrukcji lampy
albo nie ma żadnego pola elektromagne-
tycznego, albo też działa stale, podłużne
pole elektromagnetyczne. Jak wiemy z me-
chaniki w pierwszym wypadku elektrony
biegną przez „przestrzeń polotu” ze stałą,
początkową prędkością, w drugim zaś wy-
padku ze stałym, dodatnim lub ujemnym
przyspieszeniem.

- d) W „przestrzeni polotu” odbywa się „zgru-
powanie” czyli „występowanie gęstości”
elektronów.

Aby zrozumieć ten proces, przytoczymy dwa
przykłady.

Pierwszy przykład przedstawia pewną analogię
z „przeszczepieniem polotu”, w której nie działa
żadne pole. Wyobraźmy sobie człowieka, który
rzuca w naszą stronę, poziomo trzy kolorowe
półki. Pierwszą piłkę czarną, rzuca z pewną siłą,
a więc i prędkością (pomiłamy tu odchyłający
wpływ przyciągania ziemi). Po chwili rzuca si-
lniej, a zatem z większą prędkością, drugą piłkę
czerwoną. Jeszcze za chwilę wyrzuca jeszcze sil-
niej i prędzej, trzecią, białą piłkę. Druga piłka,
lecąc prędzej od pierwszej, dogania ją a trzecia
dopędza pierwszą i drugą. Przy odpowiednim
doborze prędkości wszystkie trzy równocześnie
przelecia obok nas. W tej pierwszej fazie piłki
leciały w kolejności: czarna, czerwona, biała.
Minąwszy nas lecą dalej w odwrotnym porzą-
dku: biała, czerwona, czarna. Nastąpiło jakby od-
wrócenie fazy. Podobnie można by wyobrazić so-
bie trzy pociągi, wychodzące z różnymi szybko-
ściami po trzech równoległych torach, co pewien
czas za stacją A i przychodzących do stacji B.
Przyjmijmy też, że dalej tak samo wychodzą z A
oraz wrty 1 szłyby pociągi, które znowu przycho-
dzą do B równocześnie itd.

A teraz za miejsce piłek, czy pociągów wy-
obraźmy sobie strumień elektronów, które wybie-
gają z „soczewki fazowej” z różnymi prędko-
ściami w „przestrzeni polotu” pozbawioną pola.
Różnica polega tylko na tym, że tutaj mamy już
nie trzy różne prędkości, ale całą mnogość, zmi-
niającą się w sposób ciągły od najmniejszej do
największej wartości. Elektrony za „soczewką”

zaczynają się skupiać w oddzielne zagęszczenia,
paczki. Te jadące ciururki elektronów robią się
coraz bardziej płaskie, aż wreszcie do miejsca F
położonego w pewnej odległości od „soczewki”
 („odległość ogniskowa”) dobiega zupełnie płas-
ka paczka elektronów o dużym zagęszczeniu
(intensywności).



Aby to osiągnąć, trzeba do siatek przyłożyć,
jak pokazały obliczenia, napięcie nie sinusoidal-
ne, a o przebiegu, zbliżonym do ukazanego na
rys. 2.



Rys. 2

W ten sposób słaby, nieprzerwany strumień
elektronów można przekształcić na ciąg znaczeń
silniejszych impulsów, których częstotliwość za-
leży między innymi od stępnego odstępów na
siatkach.

Inny sposób modulacji prędkości zilustrujemy
na drugim przykładzie. Niech ten sam człowiek
rzuca teraz piłki w górę, i śledź przy tym sam
stół na wysokości wieży. Czarną piłkę wyrzuca
z pewną siłą, następnie słabiej czerwoną i wresz-
cie najslabiej białą. Czarna piłka wyrzucona naj-
wcześniej, zrobiła najdłuższą drogę, następnie
czerwona, trochę krótszą, ostatnią biała, najkrót-
szą i w rezultacie, przy odpowiednim doborze
początkowych prędkości, spadną do poziomu
nóg człowieka wszystkie trzy równocześnie.
Czarna piłka, spadająca z najwyższego punktu,
będzie miała przy tym największą prędkość,
czerwona — mniejszą, biała najmniejszą. Dła-
tego piłki będą spadały dalej od podstawy wieży,
w tym samym porządku, w jakim je wyrzucono:
czarna, czerwona, biała. Faza w tym wypadku
nie ulega odwróceniu. Dla charakteryzowania
tego przykładu trzeba podkreślić, że piłki poru-
szają się w polu ciężkości, w kierunku siły przy-
ciągania, przy czym w pierwszym okresie siły te
przeciwdziałały ruchowi piłek, w drugim przy-
śpieszały go. Okazuje się, że przez właściwy wy-
bór pola sił w „przestrzeni polotu” można rów-

nie osiagnąć przemianę nieprzerwanego strumienia elektronów są ciąg impulsów.

2) Następnym, bardzo istotnym elementem klitrona, są specjalne obwody rezonansowe, tzw. pojemnościowe rezonatory, nazywane czasem rumbatronami.

Najprostsz obwód rezonansowy, to para płytek (kondensator), połączonych zwojem drutu (cewka). Jeśli równolegle do tego zwoju przyłączymy drugi i dalsze to indukcyjność się zmniejsza i częstotliwość rezonansowa wzrasta. Przyłączając coraz więcej zwojów, otrzymamy w granicy wydłużone, metalowe ciało, o kształcie toroidalnym, stanowiące całość z dwiema równoległymi płytkami jak pokazuje rys. 3.

Obwód taki nastrojeny jest na drganie bardzo wysokiej częstotliwości. Prądy przepływają po jego wewnętrznej powierzchni, dzięki czemu straty na promieniowanie są bardzo małe, ekranowanie zaś pełne, co zmniejsza możliwości szkodliwych sprzężeń.

Dobroć takiego obwodu $Q = \frac{\omega L}{R}$ jest bardzo wysoka i sięga bez obciążenia, 10000, z obciążeniem zaś 1000, czego nie można osiągnąć w zwykłych obwodach.



Rys. 3

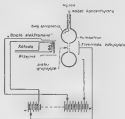
Płytki rumbatronu wykonane są zazwyczaj jako siatki, aby umożliwić przechodzenie przez nie elektronów.

1) Znając już działanie elementów klitrona, zobaczmy w jaki sposób może on stać się generatorem drgań.

Rozróżnia się dwa typy oscylatorów klitronowych. Jeden można nazwać klitronem odbiciowym, drugi zaś klitronem dwurezonatorowym.

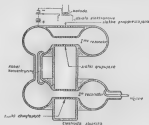
Układ połączony klitrona odbiciowego przedstawiony jest na rys. 4. Zasada działania wyjaśniona była w drugim z rozpatrywanych przykładów. Elektrony wysyłane z „dziśła elektronowego” przebiegają ze wzrastającą prędkością przestrzeń do pierwszej siatki rumbatronu. Między siatkami prędkości elektronów ulegają zmniejszeniu — do czego wnel powierzchnię. Zmniejszone elektrony wybiegają w przestrzeń po-
kutu, gdzie napotykają na przeciwdziałające ich ruchowi jednostajne pola elektryczne, wytworzone przez ujemnie spolaryzowaną elektrodę odbijającą. Pewna ilość najszybszych elektronów dochodzi do tej elektrody, większość jednak za-

wraca i leci z powrotem do siatek rumbatronu. Przez ten czas trwa grupowanie elektronów w paczki, podobnie jak to było z piłkami w polu ciężkości, i do siatek w powrotnej drodze docho-



Rys. 4

czą mocne impulsy o określonej częstotliwości. Jeśli faza tych impulsów jest taka, że wzmacniają one zmienne, modulujące napięcie na siatkach, jeśli więc powracające elektrony trafiają na moment, w którym zmienne pole hamuje je i odbiera od nich energię, to proces modulacji będzie na rastął, dopóki nie zostaną osiągnięto drgania niestabilizowane. Osiągnięcie właściwej fazy i częstotliwości zależy od napięcia na siatkach, prędkości wyjściowej elektronów, potencjału odbijającej elektrody i właściwości rezonatora. Pierwsze początkowe drgania napięcia na siatkach, powstają w rezonatorze w momencie włączenia.



Rys. 5

Drugi typ klitrona, dwurezonatorowy, widzimy na rys. 5.

W tym wypadku w przestrzeni polu — między pierwszym i drugim rezonatorem — podobnie, jak w pierwszym rozpatywanym przykładzie

nie ma pola elektrycznego. Elektronów o prędkości zmoculowanej zmienił napięciem na pierwszej parze siatek — 1-szy rezonator w terminologii angielskiej nazywa się „buncher”, od słowa „bunch”, co oznacza „pęczek, wiązkę”, — dochodzą zebrane w pęczki do drugiej pary siatek, II-go rezonatora, umieszczonego w odległości „ogniskowej” i wywołują na nich szybkozmienne „catch” — chwytają. Elektronów, które przełatają napięcie. II-gi rezonator nazywa się „catcher” od przez siatki II-go rezonatora wpadają na elektrodę zbiorczą.

W tym układzie kłistron mógłby być wzmacniaczem napięcia lub mocy (na rachunek energii, zużycie w obwodzie katody). Jeżeli zastosujemy sprzężenie zwrotne i drgania z II-go rezonatora podamy po kablu koncentrycznym w odpowiedniej fazie na I-szy rezonator, to modulacja będzie wzmacniona i kłistron zacznie generować. W tym celu oba rezonatory muszą być ze-

strojone blisko rezonansu, sprzężenie i napięcie anodowe muszą być właściwie wybrane. Regulacja drugiego typu kłistrona jest trudniejsza niż typu pierwszego.

Kłistron odbiciowy używany jest jako generator małych mocy, np. heterodyna przy modulacji częstotliwości. Kłistron dwarczonansowy pozwala na otrzymywanie większych mocy, rzędu 1 kW. Napięcia robocze w kłistronie są rzędu 1–2 kV, przy czym prądy dochodzą do 15–20 mA. Uzyskano oscylacje na zakresie 5–40 cm przy sprawności 30–40%.

Ten nowy typ lampy generacyjnej pozwala niezależnie się od wpływów czasu przełotu elektronów na przesunięcie fazowe między prądem i napięciem, ponieważ zawsze można tak dobrać czas przełotu i częstotliwość impulsów, by przełot elektronów trwał całkowitą liczbę okresów drgań, co pozwala na zachowanie właściwej fazy.

Inst. J. B.

Inst. F. M.

Oscylograf katodowy

Ro 4001

1. Wstęp.

Dla radiotechnika — konstruktora jednym z najważniejszych przyrządów jest oscylograf katodowy. Możliwość bezpośrednich obserwacji przebiegów elektrycznych w różnych punktach układu stawia oscylograf na pierwszym miejscu przed innymi przyrządami. Przy jego pomocy możemy wykonać między innymi następujące prace:

Pomiar prądu i napięć stałych i zmiennych at do 10⁶ V, wysokości częstotliwości ($f = \sim 10^6$ c/s).

Pomiar mocy prądu zmiennego.

Pomiar kąta przesunięcia fazowego.

Pomiar częstotliwości.

Obserwacje przebiegów zmiennych w czasie.

Pomiary zniekształceń we wzmacniaczach, pomiar przeciążenia i wzmożenia.

Pomiary charakterystyk lamp, materiałów magnetycznych.

Pomiar procentu głębokości modulacji, stroje nie odborników z jednoczesną obserwacją krzywej rezonansu itd.

Możliwość różnych pomiarów i sposób ich przeprowadzenia będą tematem jednego z następujących artykułów.

Na tym miejscu podamy opis prostego oscylografu, który może wykonać amator posiadający już nieco doświadczenia w budowie urządzeń radiowych. Autor postawił sobie zadanie skonstruować oscylografu odpowiadającego wymaganiom radiotechnika a zarazem niedrogi i co najważniejsze z części, które można na naszym rynku bez trudności dostać.

Po tym wstępie omówimy ogólnie zasadę działania oscylografu a następnie przejdziemy do szczegółowego opisu budowy.

2. Lampa oscylograficzna.

Przekrój lampy przedstawia rys 1, katoda w kształcie małego naczynka wypełnionego „pastą” emitującą elektrony (a więc może być punktowne — źródło elektronów), podgrzewana jest grzejnikiem podobnie jak w normalnych lampach odbiorczych.



Rys. 1

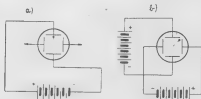
Elektrony emitowane z katody wpadają w pole działania systemu elektrod, domagają tu przyspieszenia i ostatecznie uderzają w ekran, który w miejscu trafienia świeci.

Jasność świecenia zależy od ilości elektronów uderzających w ekran za jednostkę czasu, czyli od natężenia prądu. Nasilenie prądu elektronów (a zatem jasność świecenia ekranu) mierzymy, sterując tym prąd napięciem elektrody, zwanej i tu, dla analogii z lampami odbiorczymi, siatką. Dając siatce napięcie bardziej ujemne w stosunku do katody możemy zupełnie zahamować przepływ elektronów.

Zatem siatka reguluje jasność obrazu na ekranie. Następnie elektrody anoda 1-sza i 2-ga służą dla dwu celów a mianowicie: nadanie odpowiedniej szybkości elektronom i skupienia na podłożeniu soczewki pęku elektronów w możliwie najmniejszy punkt na ekranie. Anoda pierwsza i druga posiadają potencjał dodatni w stosunku do katody przy czym potencjał anody pierwszej równy jest około 1/3 potencjału anody drugiej. Istnieją również lampy trzyanodowe, w których anoda 1-sza umieszczona jest bezpośrednio za katodą i ma na celu nadanie szybkości elektronom.

Zamiast układu elektrostatycznego można również skupić pęk elektronów przy pomocy pola magnetycznego stałego przebiegającego wzdłuż osi lampy. Sposób ten jest bardziej kłopotliwy ze względu na zasilanie cewek prądem.

Z kolei pęk elektronów przebiega pomiędzy systemami płytek odchyłających (Rys. 1 i 2). Różnią się tzw. płytki pionowe i płytki poziome.



Strumień elektronów zachowuje się mniej więcej tak jak przewodnik, przez który płynie prąd elektryczny. Jak wiemy z elektrostatyki, działając na przewodnik w którym płynie prąd pole magnetyczne lub elektryczne, wywołuje ruch przewodnika. Podobnie ma się sprawa z wiązką elektronów.

O ile pomiędzy parą płytek istnieje napięcie, wtedy pęk elektronów jest przyciągany w kierunku płytki o potencjale dodatnim (rys. 2a).

O ile załączymy napięcie pomiędzy płytkami pionowymi i poziomymi wtedy pęk elektronów odchyli się w kierunku wypadkowej (rys. 2b).

W wypadku napięć o jednakowej wielkości pęk przesunie się pod kątem 45°.

O ile teraz posiadamy płytki np. pionowe przyłożymy napięcie zmienne, wtedy pęk elektronów odchyli się będzie raz w kierunku płytki górnej raz w kierunku dolnej osiągając najwyższe położenie dla amplitud napięcia (2c).

Pęk elektronów skupiony w punkt trafia na ekran pokryty substancją, która pod wpływem bombardowania elektronami świeci. Zależnie od

rodzaju materiału ekran świeci na zielono, na niebiesko lub na białe (stosowane w telewizji).

Ekran zależnie od składu chemicznego posiada jeszcze jedną bardzo ważną właściwość a mianowicie zdolność świecenia przez pewien czas po ustaniu prączyzny, to znaczy po przestaniu się pęku elektronów.

Przy fotografowaniu jednorazowych przebiegów ma to duże znaczenie. Na odwrót dla telewizji, gdzie mamy szybko zmieniającą się scenę, (np. such przedmiot) czas powinien być możliwie krótki.

Odchylenie plamki świetlnej na ekranie przy załączeniu napięcia na płytki odchyłające określa równanie — (1)

$$a = \frac{1}{2} \frac{E}{V} \frac{L}{d} \quad \text{cm} \quad (1)$$

gdzie a — odchylenie plamki na ekranie od położenia początkowego w cm.

E — napięcie pomiędzy płytkami odchyłającymi.

V — napięcie przyspieszające (anoda 2).



Rys. 2a, b, c

L — odległość ekranu od środka płytek odchyłających.

d — długość płytek w cm.

V — odstęp pomiędzy płytkami w cm.

zatem dla stałych L, d, V odchylenie jest proporcjonalne do napięcia na płytkach (E).

W odczytaniach normalnie określa się czułość lampy jako stosunek $\frac{a}{E}$ w mm/1 volt; ze wzoru (1) widać, że im wyższe stosujemy napięcie przyspieszające (V), tym wprawdzie obraz będzie jaśniejszy (większa szybkość, więcej elektronów w jednostce czasu), ale czułość będzie mniejsza.

Dla lamp normalnych czułość jest rzędu 0,1 — 0,3 mm/V.

Powróćmy do rysunku (2c).

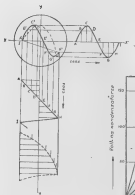
O ile przyłoży się np. na płytki pionowe, napięcie zmienne, wtedy plamka będzie się poruszała w górę i w dół i na ekranie otrzymamy linię pionową o długości odpowiadającej podwójnej amplitudzie. Przyjmijmy teraz, że na płytki

porównie przyłożony napięcie, którego kształt zmienia się jak na rys. 3.

Wtedy płamka roztanie przesuwać ruchem jednostajnym w prawo w czasie od $t_1 \sim t_2$ a następnie szybko wróci w czasie ($t_2 \sim t_3$) w położenie początkowe. Jeżeli teraz na płytce piono-
we działa napięcie zmienne, płamka wykonywać będzie ruch wypadkowy i na ekranie ujrzymy o-
braz sinusoidy (napięcie na płytkach piono-
wych sinusoidalne). Konstrukcję wypadkowego



Rys. 3



Rys. 4

ruchu płamki przedstawia rys. 4 (linia ciągła).

Część sinusoidy (prawie jeden okres), wy-
kreślonej linią grubą płamka narysowuje w cza-
sie $t_1 \sim t_2$ zaś linia cienka określa drogi powro-
tu w czasie $t_2 \sim t_3$.

Aby zatem otrzymać na ekranie obraz prze-
biegu, musimy go niejako rozciągnąć w czasie,
włączając na płytce poziome napięcie, o przebie-
gu jak na rys. 3. W naszym wypadku czas t_1

t_2 — jest równy jednemu okresowi przebiegu.
Jeżeli czas ten będzie dwa lub kilkakrotnie wię-
kszy, wtedy na ekranie ujrzymy się dwie lub kil-
ka pełnych fal.

Ugólnie więc oscylograf składa się z lampy
oscylograficznej, źródła napięć zasilających i go-
neratora napięć o przebiegu jak na rys. 3.

Generator taki w literaturze technicznej nazy-
wa się generatorem podstawy czasu (time ba-
se sweep generator).



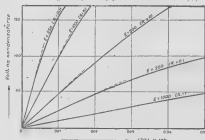
Rys. 5

3. Systemy generatorów podstawy czasu.

Najprostszym generatorem jest układ składa-
jący się z oporu, kondensatora i neonówki (rys.
5). Kondensator C ładuje się przez opór R wed-
ług krzywej określonej równaniem

$$E_c \rightarrow E (1 - e^{-\frac{t}{RC}}) \quad (12)$$

gdzie E_c — napięcie na kondensatorze (V)



Rys. 6

E — napięcie baterii (V)

t — czas w sek.

C — pojemność w F

R — opór w omach

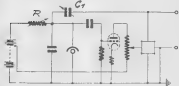
$e = 2,71...$ (podstawa logarytmów natural-
nych).

Równanie to zobrazowane jest na rys. (6) dla
różnych wartości CR.

Normalnie kondensator naładowałby się do napięcia baterii; ponieważ jednak równolegle do niego włączona jest neonówka, która przy pewnym napięciu Ez (napięcie zapłonu) zapala się następuje zwarcie kondensatora, w czasie t_2 (rys. 3). Zatem na kondensatorze i na neonówce napięcie spada.

Neonówka jarzy się tylko do pewnego napięcia; gdy napięcie spadnie do wartości E_g — odpowiadającego napięciu gaśnięcia, okres rozładowania kończy się i następuje powtórne ładowanie (w tym okresie neonówka ma opór praktycznie nieskończenie wielki).

Na kondensatorze występuje więc napięcie podobne do zębów pily (saw — tooth); amplituda napięcia jest rzędu 30 — 40 woltów i równa się różnicy $E_z - E_g$.



Rys. 7

Przyjmując częstotliwość płatek poziomych około 0,3 mm V całkowite wychylenie płamki wyniesie najwyżej 12 mm; jest to oczywiście mało i należy napięcie to zmniejszyć tak, aby wychylenie płamki zajęło całą średnicę lampy. Układ podobny przedstawia rys. (7).

Jak widzieliśmy z konstrukcji na rys. 4. — b ważną sprawą jest liniowość przebiegów generatora podstawy czasu. Gdy przebieg od t_1 do t_2 nie będzie liniowy, wtedy na przykład obraz sinusoidalny będzie rozciągnięty nieregularnie jak to przedstawia rys. 4. — krzywa kreskowana.

Liniowość układu z rys. 5 i 7 jest nienadzwyczajna; można ją polepszyć stosując wysokie napięcie ładowania. (Krzywa ładowania ma w swym początku przebieg liniowy jak to przedstawia rys. (6)). Stosując napięcie wysokie możemy zmniejszyć w pewnym zakresie nasz przebieg. Przy obserwacji przebiegów o różnych częstotliwościach możemy dobrać częstotliwość generatora podstawy czasu tak, aby w okresie zmienności napięcia „płył” zmieścić jeden lub kilka okresów napięcia badanego.

Im wyższa częstotliwość napięcia badanego, tym wyższa musi być częstotliwość generatora podstawy czasu. Częstotliwość tego ostatniego zależy od wysokości napięcia zasilającego i stałej RC. W praktyce zmienia się opór w sposób ciągły, pojemność kondensatora skokami. Im

niższy kondensator, tym szybciej będzie się on ładował, tym wyższa będzie częstotliwość.

Oprócz wymagań dotyczących liniowości przebiegu generatora podstawy czasu, żąda się, aby czas ładowania ($t_1 - t_2$) był kilkakrotnie większy (przynajmniej 7 — 8) od czasu rozładowania ($t_2 - t_1$). Chodzi o to, aby powrót płamki był słabo widoczny. Im większa szybkość — tym mniej elektronów uderzających w ekran, tym słabsze świecenie. W przeciwnym wypadku otrzymalibyśmy dwa obrazy na ekranie, co oczywiście nie jest pożądane. Drugą ważną sprawą jest t. zw. synchronizacja. Mianowicie, aby oglądać jakis przebieg musi on być uśmierczony na ekranie, zatem co jeden okres obraz ma zająć to samo miejsce na ekranie. Inny sposób okres generatora podstawy czasu winien również być stale wielokrotności okresu przebiegu badanego. Na skutek wahań napięcia zasilającego, temperatury itp. częstotliwość generatora nie jest stałą i trzeba ją w szczytny sposób podtrzymywać. Użytkuje się to ten sposób, że część napięcia badanego wjeżdża się w obwód generatora podstawy czasu. Mianowicie drgania relaksacyjne (do takich należy nasz przebieg) posiadają właściwość synchronizowania się przez drgania o częstotliwości harmonicznej przebiegu. Np. jeżeli częstotliwość generatora podstawy czasu wynosi 100 c/s, to da się on synchronizować drganiami o częstotliwości 100, 200, 300 i t.d. Im stosunek ten będzie większy, tym trudniejsza jest synchronizacja. W praktyce obiera się częstotliwość generatora podstawy czasu nie mniejszą niż 10 razy, od częstotliwości przebiegu badanego. Przy neonówce synchronizowanie jest nie łatwe i mało skuteczne. W układzie na rys. 7 spręża się obwody przy pomocy kondensatora C_2 . Oprócz tych wad lampy gazowane nie chcą oscylować przy częstotliwościach wyższych. Mianowicie gaz zjonizowany musi mieć czas na dejonizację, to znaczy musi powrócić do stanu, jaki istniał przed zaświeceniem. Trwa to pewną chwilę; dlatego stosunek czasu ładowania do rozładowania jest coraz gorszy i w praktyce najwyższa „możliwa” częstotliwość takiego generatora wynosi około 20.000 — 30.000 c/s. Specjalnie wykonane lampy osiągają wyższe częstotliwości.

Aby polepszyć liniowość przebiegu zamiast oporu R (rys. 7) włącza się element, którego opór zmienia się z napięciem; tak, aby płynął stały prąd ładowania. Mianowicie przyrost napięcia na kondensatorze określa równanie różniczkowe

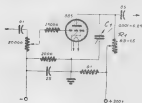
$$\frac{dU}{dt} = \frac{1}{C} \cdot I \quad (3)$$

$\frac{dU}{dt}$ — przyrost napięcia na jednostkę czasu
C — pojemność
I — prąd

Zatem aby linia ładowania była linia prostą —

czyli prętość wielkością stałą, musi być prąd I constant.

Osiąga się to, włączając w miejsce oporu R np. pentodę, której charakterystyki anodowe $I_a = f(U_a)$ mają przebieg płaski prawie niezależny od napięcia anodowego.



Rys. 8

Dla uniknięcia trudności synchronizowania konstruowano gazowaną triodę tak zwany tyatron. Punkt zapłonu tyatronu zależy również od napięcia na siatce. W czasie synchronizacji siatka tyatronu otrzymuje impulsy, które wywołują jonizację w żądanym czasie, a zatem synchronizacja.

Układ generatora z lampą tyatronową przedstawia rys. (8).

Kondensator C ładuje się przez opór R^1 . Potencjometr w obwodzie siatki służy do zmiany wielkości napięcia synchronizującego. Opór 725000 Ω ogranicza prąd siatki tyatronu, który mógłby zbyt obciążyć źródło napięcia synchronizującego.

Napięcie dostarczane przez układ tyatronowy jest na ogół wystarczające do wychylenia płaski na cały ekran. Dla osiągnięcia liniowego przebiegu wykorzystuje się część napięcia, dodając jeden stopień wzmacnienia, poza tym zamiast oporu R^1 włącza się pentodę. Częstotliwość górna jest rzędu 20–50 kc/s, przy czynie liniowości i stosunek czasu wychylenia do powrotu jest przy wyższych częstotliwościach niekorzystny.

Przy stosowaniu specjalnych lamp osiąga się częstotliwości do 100 000 c/s.

Dla obserwacji przebiegów o wysokich częstotliwościach, częstotliwość generatora podstawy czasu musi dochodzić przynajmniej do 300 000 c/s.

Generatory tego typu zbudowane są z lamp próżniowych. Przy lampach dużej mocy i dużym nachyleniu (np. system Philips 2xAL4 i AF 7), wysokich napięciach zasilających i starannym montażu (małe pojemności szkodliwe) dochodzi się do około 300–400 kc/s.

Oprócz tych systemów stosuje się jeszcze odchylanę napięciem sinusoidalnym. Mianowicie

odcinek sinusoidy przy przejściu przez oś czasu, jest w przybliżeniu liniowy (w zakresie 60°), a mianowicie:

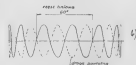
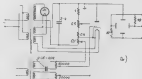
$$\sin 30^\circ \text{ to jest } \frac{\pi}{6} \approx 0,5$$

$\frac{\pi}{6} \approx 0,525$, zatem linia prosta w granicach od -30° – $+30^\circ$ z odchyleniem 2,5%. Dając odpowiednio wysokie napięcie odchylające (dla lampy o średnicy 60 mm i osłójki 0,1 mm/V około 430 Vskut.) otrzymamy odchylanie liniowe. Rozróżni przebiegu (nie liniowa) znajduje się poza ekranem lampy.

Zakładając szerokość sinusoidy przebiegu badanego 5 mm, na ekranie zobaczymy 12 fal, w czasie odpowiadającym kątowi $\frac{2\pi}{6}$. (średnica ekranu 60 mm).

Odpowiada to częstotliwości około 3600 c/s, zatem stosując napięcie sieci o częstotliwości 50 c/s możemy obserwować przebiegi od częstotliwości 300 c/s (cała fala) do 3600 c/s.

Powiększając napięcie podstawy czasu możemy przebieg jeszcze bardziej rozciągnąć i oglądać trochę wyższą częstotliwość. Żyjt wysoko z napięciem 16 jednak nie można ze względu na



Rys. 9a i b

możliwości przebiegu. W każdym razie jest to najprostszy układ zastępujący generator podstawy czasu.

Musimy tu jeszcze zastosować urządzenie gaszące lampę w czasie drogi powrotnej promienia. Inaczej będziemy widzieli na ekranie obraz podwójny.

Robi się to w ten sposób, że na pierwszą ścieżkę lampy oscylograficznej włącza się napięcie przesunięte w fazie o 90° w momencie powrotu promienia, ekran jest ciemny. Oczywiście oko tego nie widzi na skutek bezwładności naszych organów wzrokowych. Układ i przebieg na ekranie przedstawia rysunek 9a i 9b.

Uzwojenie zasilające płytki poziome musi być dobrze izolowane od uzwojenia pierwotnego.

Oprócz odchylenia elektrostatycznego (płytki) stosuje się odchylenie elektromagnetyczne (cewki). Konieczność użycia takiego sposobu zachodzi wtedy, gdy chcemy badać przebiegi prądowe.

Prośopadłe do biegu elektronów umieszcza się po obu stronach lampy cewki, odchyłające. Odchylenie elektromagnetyczne ma szczególnie zastosowanie w telewizji. Przebieg prądu w cewce generatora podstawy czasu, powinien mieć również kształt zębów pily.

4. Konstrukcja oscylografu

Jakie wymagania stawia amator oscylografu? Aby odpowiedzieć na to pytanie, zastanówmy się nad pracami przeciętnego radiotechnika. Obok pomiarów napięć, częstotliwości itd, należy tu badać przebiegów we wzmacniaczach niskiej częstotliwości, to jest określenie dopuszczalnego występowania, optymalnych warunków pracy, badania odbiorników, a więc kontrola szerokości wstęgi, działania automatów itp.

Dla krótkości słów — zadawców, ważnym zagadnieniem jest kontrola jakości i procentu modulacji, kluczowania, a zatem jak widzieć na ogół ograniczamy się do badań w zakresie niskiej częstotliwości.

W wypadku konstrukcji signalgeneratorów wysokiej częstotliwości, jakości krzywej podoba by określić inną metodą, np. pomiarem natężenia harmonicznych przy pomocy odbiornika itp. Ostatnio możemy obserwować przebiegi zakresu najniższego, to jest około 100 kc/s. Wtedy przyjmując minimalną szerokość sinusoidy przebiegu około 6 mm, otrzymujemy przy średnicy ekranu 60 mm i górnej częstotliwości generatora podstawy czasu 10 kc/s — 10 sinusoid.

Najniższą częstotliwość określona będzie najniższą częstotliwością badaną.

Częstotliwości akustyczne najniższe, są rzędu 20 — 30 c/s. Aby obserwować przynajmniej 2 sinusoidy na ekranie, najniższą częstotliwość generatora podstawy czasu winna wynosić około 10 c/s.

Liniowość przebiega winna być dobra. Stosunek czasu wychylenia („czynnego”) plamki do czasu powrotu przynajmniej 7 : 1.

Generator powinien dać się łatwo zsynchronizować w całym zakresie częstotliwości.

Oprócz tego oscylograf powinien zawierać wzmacniacz napięć badanych, na płytkach pionowych tak, by wychylenie plamki dla 0,5 wolta wynosiło przynajmniej 10 mm.

Zakres częstotliwości mierzonych od 30 c/s do

100.000 c/s przy spadku charakterystyki nie większym jak 0,5 db. (6%). Dodatkowo autor postawił sobie zadanie skonstruowania oscylografu prostego i taniego tak, by całość można było zmontować z części, jakie każdy radioamator posiada, względnie może nabyć bez trudności na rynku.

Opis układu:

Schemat ideowy oscylografu przedstawia rys. 10. Dla łatwiejszego zrozumienia omówimy poszczególne czony oddzielnie:

Lampa oscylograficzna LB8.

Na rynku znajduje się obecnie wiele lamp z urządzeń wojskowych. Wśród nich doskonałą i względnie taną jest lampa oscylograficzna LB8 (LB1).

Dane techniczne:

$U_i = 11 - 13,5V$ (12,6) średnica ekranu — 60mm

$k = 0,27A$

$U_a, max = 2.000V$

$U_{a1} = 200 \pm 75V$

$U_g = -50 - -15V$

Dopuszczalne napięcie pomiędzy płytkami odchyłającymi — 1.000 V.

Czułość płytek pionowych 0,08 mm/V przy $U_a = 2.000V$.

Czułość płytek poziomych 0,05 mm/V przy $U_a = 2.000V$.

Ostrość promienia dla $U_a = 2.000V$ i $i_a = 50 \mu A$ — 0,5 mm, pojemność między płytkami pionowymi — 2,7 pF, pojemność pomiędzy płytką pionową, a listwy elektrodami uziemionymi — 7,8 pF, podawany stosowane napięcie zasilacza wynosi 700 V, zatem czułość odpowiednio zwiększy się. Lampa ta jest trzyanodowa, z których pierwsza połączona jest z 3-cią (najwyższe napięcie) i nazywamy ją „s”.

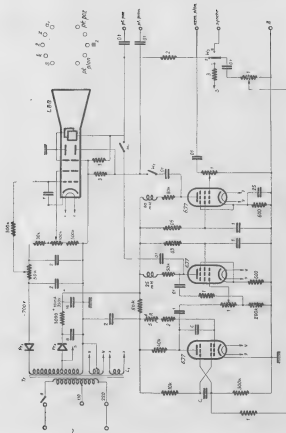
W oscylografie modelowym zmierzona czułość wynosiła dla płytek pionowych 0,33 mm/V, dla poziomych 0,22 mm/V.

Można by zasiląć lampę napięciem do 300 voltów, wtedy jednak przy wyższych częstotliwościach (duża szybkość promienia) świecenie jest słabe i niewyraźne.

Poza tym ze względu na dużą czułość, lampa jest bardzo wrażliwa na wpływ pól obcych, a zwłaszcza pól magnetycznych. Przy zwartej budowie istnieje niebezpieczeństwo wpływu ze strony transformatora sieciowego. Lampę należy umieścić w rurze z blachy żelaznej o grubości co najmniej 1,5 mm.

Zasilacz. Cały układ zasilany jest z małego transformatora z odbiornika 3-lampowego. Napięcie anodowe 2x300 V, z czego wykorzystuje się jedno uzwojenie (300V) do zasilania generatora i wzmacniacza, zaś oba razem (600 V) do zasilania lampy oscylograficznej.

Do prostowania użyto prostowników selenowych. Wysokie napięcie prostuje się 3-ma prostownikami, połączonymi w szereg (po 20 płytek na prostownik). Napięcie niższe prostuje się jednym zespołem (23 płytki).



Rys. 10

Uwaga: Koda lampy oznaczona tu być powinna w punkcie porządku 00 K0. Poniżym koda powinna być podana r. wkładu (x)

Ponieważ prąd układu lampy oscylograficznej jest mały, rzędu 1V—1,5 mA, a sama lampa pobiera od 50 — 100 mA, wystarczy dla dobrego oddzielenia kondensatory o pojemności po 2 pF. Jako opór filtrujący zastosowano potencjometr 50.000, służący zarazem jako dzielnik napięcia siatki.

Dodatkową filtrację uzyskujemy przy pomocy oporu 300 k Ω i kondensatora 1 μ F.

Jasność promienia zmienia się przy pomocy potencjometru 100 k Ω .

Anoda druga wraz z płytami połączona jest z uziemieniem i najwyższym napięciem + 700V.

Prąd układu generatora i wzmacniacza wynosi ok. 10 mA. Służące elektrolity, wystarczy dać opór filtrujący zamiast dławika. Oczywiście w miejsce sekcji możemy zastosować i lampy prostownicze.

Generator podstawy czasu.

Z omówionych wyżej układów dla złożonych warunków, możliwy byłoby do przyjęcia układ z tyratronem.

Nie tak, ale tyratronów w tej chwili na rynku nie ma. Budować generator na kilku lampach próżniowych zwiększyłoby koszt oscylografu.

W latach wojny szybki rozwój techniki radara, wyciął jednak nowość i w dziedzinie generatorów podstawy czasu.

W czasopiśmie Wireless World, (Juno 1946), podano nowy układ generatora na jednej lampie próżniowej.

Generator ten jest połączeniem układu transistronowego z tak zwanym integratorem Millera. Układ transistronowy był omówiony w Nr 1. Ra przy opisie signalgeneratora; tutaj jest urządzeniem pomocniczym, służącym dla utrzymania periodyczności przebiegów.

W integratorze Millera wykorzystuje się właściwość wzmacniacza oporowego, w którym pojemność wejściowa równa jest pojemności siatki anoda, pomnożonej przez $(1+K)$, gdzie K oznacza wzmocnienie układu.

Jak widzimy ze schematu (rys. 11), pomiędzy anodą i siatką włączona jest pojemność \bar{C} .

Powróćmy na chwilę do rys. 8, na którejś łatwo zobaczyć, że im wyższe będzie napięcie zasilające, tym bardziej krótki będzie przebieg ładowania.



Rys. 11

Wykorzystując odpowiednio mały odcinek, otrzymamy pożądaną przebieg napięcia generatora.

Integrator Millera przedstawiony jest na rys. (11). Opór R_g jest bardzo mały w porównaniu z oporem R ($> 2 - Mg$) tak, że układ zastępczy można przedstawić jako generator w szeregu z oporem R i kondensatorem C .

Przyjmijmy, że w pewnym momencie kondensator jest naładowany, a przez lampę płynie jakiś prąd. Prąd ten wywołuje spadek napięcia na oporze R , tak, że anoda a jest ujemna w stosunku do punktu b. Siatka g jest ujemna w stosunku do punktu b i potencjał jej równy jest samemu spadkowi na oporze R , i napięcia zasilającego. Jednocześnie siatka g jest ujemna w stosunku do katody c o spadek na oporze R_g ; gdy kondensator C rozładuje się, zmniejsza się napięcie pomiędzy punktami a — g i siatka jest mniej ujemna w stosunku do katody c. Wywołuje to wzrost prądu anodowego, który ze swej strony czyni bardziej ujemnym punkt a, w stosunku do b, zatem gdy V_{ag} zmniejsza się, ujemna V_{ba} ; jeżeli dobieżemy tak warunki układu, że $V_{ag} = -V_{ba}$, wtedy pomiędzy punktami b i g będzie stała różnica potencjałów i przez opór R będzie płynął prąd stały.

Jak widzimy z równania (3) prąd stały jest warunkiem liniowego przebiegu napięcia na kondensatorze w czasie ładowania względnie wyładowania. Praca tego typu generatora jest odmienna, niż latychaczowych.

Kondensator „C” szybko ładuje się przez opór R_g i przestrzeń siatka—katoda, a następnie rozładowuje się prądem o stałym natężeniu — przez opór R .

W rzeczywistości V_{gb} nie może być stałe, ponieważ wtedy byłoby stałe i V_{gc} , a stałe napięcie na siatce nie wywołałoby wzrostu prądu anodowego. Jednak przy dużym wzmocnieniu V_{ba} może być o wiele większe, niż V_{gc} i liniowość będzie bardzo dobra.

Jeżeli K oznacza wzmocnienie, wtedy prąd wyładowania kondensatora

$$i = \frac{E}{R} e^{-t/T} \quad \text{gdzie } T = CR(1+K)$$

(efekt Millera)

$$V_{ab} = K \cdot V_{gc}$$

$$V_{gc} = E - i \cdot R \quad (E \text{ napięcie zasilające})$$

$$V_{ac} = V_{bc} - V_{ab}$$

$$V_{ac} = E - K(E - iR)$$

$$V_{gc} = E \left\{ 1 - K \left(1 - e^{-\frac{t}{T}} \right) \right\}$$

Zatem napięcie anoda—katoda zmienia się tak, jakby kondensator o pojemności $C(1+K)$ ładował się z źródła napięcia równego $(-E \cdot K)$.

Na przykład stosując pentodę o nachyleniu $S = 6 \text{ mA/V}$ i opór R równy 10 k Ω , uzyskamy wzmocnienie $K = 60$. Jeżeli napięcie zasilające $E = 250 \text{ V}$, wtedy układ będzie się zachowywał tak, jakby napięcie to było równe

$$250 \cdot 60 = 15.000 \text{ V}$$

Wykorzystując 2% krzywej teoretycznie otrzymujemy 300 woltów. Oczywiście nigdy w prak-

tycie nie otrzymano napięcia większego od napięcia zasilania. Maksymalne (możliwe) napięcie wynosiło około 80 kV.

Przy wykorzystaniu układu innych elektrod dla periodycznych przebiegów napięcie jeszcze się zmniejsza.

W wykonanym modelu uzyskano amplitudy napięcia około 60 — 90 woltów. Liniowość bardzo dobra, stosunek czasu wychylenia do powrotu 30 : 1 dla niskich częstotliwości, dla wysokich 10 : 1. Ponieważ napięcie 60 woltów dla lampy o czułości 0,22 mm/V daje zbyt małe wychylenie (około 13 mm) należy użyć dodatkowej lampy jako wzmacniacza. Potrzebna amplituda na płycie wychylającej przy średnicy ekranu 60 mm wynosi

$$\frac{60}{0,22} = 270 \text{ woltów.}$$

Nielatwo jest otrzymać na zwykłej lampie takie napięcie bez zniekształceń. Ponieważ jednak napięcie generatora jest względnie wysokie, zastosowano silną ujemną reakcję zarówno prądową jak i napięciową.

Wzmacniacz poza tym powinien dobrze pracować w zakresie od 10 c/s do 100000 c/s. Dla poprawienia charakterystyki na wyższych częstotliwościach włączono cewkę kompensacyjną o wartości około 25 mH. (Jak wykazały pomiary na skutek silnej ujemnej reakcji można się bez niej obejść).

Czułość generatora zależy od pojemności C, C₁ i oporu R. W zakresie częstotliwości od 10 c/s do 10000 c/s należy zmienić skokami pojemności, a w sposób ciągły opór R. Zastosowano opór o wartości 5 Meg. Przy dodatkowym oporze szeregowym 2 Meg stosunek częstotliwości skrajnych wynosi jak 1 : 3,5.

Poniższa tabela podaje wartości C i C₁.

F c/s	10-85	85-105	105-150	150-330	330-1100	1000-2500	2500-10000
C pF	25000	10000	2200	1000	300	90	
C ₁ pF	10000	2200	1000	220	90	90	

W braku potencjometru na 5 Meg można dać potencjometr o wartości 1 Mg i kilka oporów stałych po 1 Meg z przełącznikiem.

Synchronizację zastosowano w obwodzie siatki chwytnej aby umożliwić stosowanie różnych źródeł synchronizacji, przełącznikiem włącza się siatkę chwytającą na napięcie o częst. 50 okresów (1) na płytki pionowe (2) oraz na zacisk zewnętrzny B (3).

Amplitudę napięcia synchronizacyjnego reguluje się potencjometrem 1 Meg.

Wzmacniacz do płytek pionowych
czułość płytek pionowych wynosi 0,33 mm/V dla wychylenia na wysokość 25 mm

potrzebne jest napięcie $\frac{25}{0,33} = 75 = \text{woltów.}$

Napięcie skuteczne $\frac{75}{\sqrt{2}} = \sim 53 \text{ woltów.}$

W założeniu zakładamy aby wzmacniacz pozwolił na wychylenie do 10 mm przy napięciu 0,5 wolta. Warunek ten ustala wzmacnienie równe 60. Zastosowano pentodę i uzyskano wzmacnienie około 80.

Zakres częstotliwości od 30 — 100000 c/s przy odchyleniach charakterystyki nie większych jak 0,5 db. ustalił wartości kondensatorów i oporów. Dla poprawienia charakterystyki na najwyższych częstotliwościach zastosowano cewkę o indukcyjności 80 mH w szereg z oporem sztowym.

W taki sposób uzyskano żądany przebieg charakterystyki częstotliwości. Niestety, przebieg ten jest prawdziwy dla skrajnego (maksymalnego) położenia ślizgacza potencjometru. Przy innych położeniach, pojemność wejściowa lampy (ok. 30 pF) bocznie łączy część potencjometru przez co zmienia się charakterystyka na wyższych częstotliwościach. Należy to brać pod uwagę przy obserwowaniu przebiegów o częstotliwościach wyższych. Wtedy harmoniczne są przez układ zmniejszone i krzywa jest na pozór czystsza. Dlatego należy brać możliwie najniższe napięcie i wykorzystywać pełne wzmacnienie.

Uniknąć tej wady można absorbując na wejściu sekcję i regulować wzmacnienie zmianą nachylenia (opór w katodzie). Wskutek zakrzywienia charakterystyki takiej lampy, mogą wystąpić zniekształcenia i dlatego należałoby stosować minimalne napięcie wejściowe (pozięb. 0,5 wolta).

Ten warunek znowu wymaga dodatkowego wzmacniacza co powiększyłoby koszt oscylografu. Firmy produkujące oscylografy stosują specjalne lampy o dużym nachyleniu i łagodnym przebiegu charakterystyki, a takich na rynku w tej chwili nie ma.

Oprócz takiego układu w najnowszych oscylografach stosuje się jako stopień pierwszy lampę której opór pracy włączony jest w obwód katody, (cathode follower). Silna ujemna reakcja w ten sposób zmniejsza wzmacnienie poniżej 1. Opór katodowy (2 — 3 kΩ) jest potencjometrem z którego zbiera się napięcie do dalszych stopni wzmacniacza. Pojemność wejściowa tych stopni nie ma już takiego wpływu na opór potencjometru. W ten sposób układ jest jakby transformatorem; z oporu wejściowego lampy — (do kilku megomów) transformuje się na opór 2 — 3 kilomów.

Ze względu na prostotę budowy układu tego nie zastosowano. Można by zbudować dodatkowo

wy ten stopień jako oddzielną sondę i kablem (0,5 — 1 mm) doprowadzić do oscylografu.

Jako lampy w trzech stopniach użyto metalowej amerykańskiej 6J7.

Całość zmontowana w metalowym pudle (najlepiej żelaznym). Wyłączniki W, i W, sprzężone są z potencjometrami regulującymi amplitudę generatora podstawy czasu oraz wzmacnienia wzmacniacza do płytek pionowych.

Wyłączniki te odłączają resztę układu przy badaniu przebiegów załączonych wprost na płytki.

Wyłącznik sieci sprzężony jest z potencjometrem regulującym jasność lampy oscylograficznej.

Przy montażu należy zwrócić uwagę na dobre ekranowanie magnetyczne i elektrostatyczne lampy oscylograficznej. W wypadku pól zewnętrz-

nych na przykład ze strony transformatora sieciowego otrzymamy obraz nieostry.

Poza tym należy oddzielić ekranem układ generatora podstawy czasu od wzmacniacza dla płytek pionowych.

W układzie nie zastosowano urządzenia do przesuwania plamki. Przy lampie LBS nie jest to konieczne, gdyż plamka jest bardzo dobrze centrowana. Poza tym musielibyśmy dodać jeszcze 2 potencjometry.

Jeżeli generator podstawy czasu daje napięcia o przebiegu prawidłowym, obraz mieści się zawsze symetrycznie na ekranie.

Man sadziąc, że niejedną z amatorów zbuduje sobie wyżej opisany oscylograf; nie jest on trudny w budowie a korzyści naprawdę duże.

Fotografię modelu ze względów technicznych umieścimy w numerze następnym.

Przegląd schematów

Przedstawiamy dwa najpopularniejsze odbiorniki produkcji francuskiej (na podstawie pisma La Télévision Française — 12.46 i 1.47).

Schemat 24. Super „AS” (Radialva), Univer. Łały super 4-50 zakresowy (dwa zakresy fal krótkich 6 — 12 Mc/s i 10 — 22 Mc/s).

Na wejściu trioda-heksoda ECH3. Ponieważ napięcie zasilające sieci wynosi 110 V, w obwodzie anodowym części triodowej heksoda włączony jest dławik zamiast zwykłego stosowanego oporu. Takie rozwiązanie spotykamy we wszystkich amerykańskich, czy francuskich superach małych wymiarów.

Częstotliwość pośrednia 472 kc/s. Po wzmacniaczu pośrednim na lampie EP8, sygnały są detektorowane i wzmacniane w lampie EBF2.

Diody połączone są równolegle i pracują wspólnie dla tonu i automatyki. Oczywiście brak jest napięcia opóźniającego automatykę.

Po wzmacniaczu napięciowym następuje wzmacniacz końcowy na lampie CBL6. Moc wyjściowa 1 W przy zniekształceniach 7 proc. Dla polepszenia jakości zastosowano ujemną reakcję z uzwojenia wtórnego transformatora na siatkę ekranującą lampy EBF2. Na uwagę zasługuje zasilanie. Do filtrowania służą dwa elektrolity i dławik w przewodzie minutowym. Spadek napięcia na dławiku wykorzystany jest jako ujemne napięcie dla lampy końcowej i wzmacniacza napięciowego. Oprócz tego wtórny przekładnik zwierający żaróweczkę oświetleniową w momencie włączenia odbiornika.

Normalnie przekładnik jest zwarty. Gdy lampy się podgrzeją, płynię prąd anodowy i pole magnetyczne dławika rozwiera przekładnik, żaróweczka świeci. Na schemacie jest kilka błędów: brak połączenia oporu 200.000 omów filtrującego ujem-

ne napięcie dla lampy głośnikowej, z końcem dławika połączonym z jednym biegunem sieci; następnie przekładnik ma zwierać tylko żaróweczkę oświetleniową, a nie wszystkie włókna lamp. Całość odbiornika od 20—30 μ V dla 50 mW mocy wyjściowej.

Schemat 25. Super I-my Croiset-Radio na lampach amerykańskich. Schemat ten podajemy ze względu na wykorzystanie lamp amerykańskich, znajdujących się na rynku.

Odbiornik na prąd zmienny, 3 zakresy fal, czułość z anteną wewnętrzną dla mocy 50 mW od 20—30 μ V. Moc wyjściowa 1,5 W przy zniekształceniach 3,5 proc.

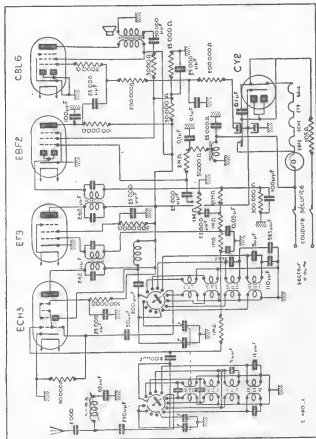
Na wejściu heksoda-trioda 6E8. Wzmacniacz pośredni z lampą 6AM7. Po detekcji w lampie 6Q7 (oddzielnie dioda dla tonu, i dla automatyki) i wzmacniaczu sygnały sterują lampę końcową 6V6. Poza tym magiczne oko 6AP7 jako wskaźnik dostrzeżenia. W schemacie opory 250 k Ω (w minuse) i 50 Ω (filtrujący napięcie opóźniające automatykę) powinny być wartościami zamieszczone.

SKALE do radiolodbiorników różnych typów poleca

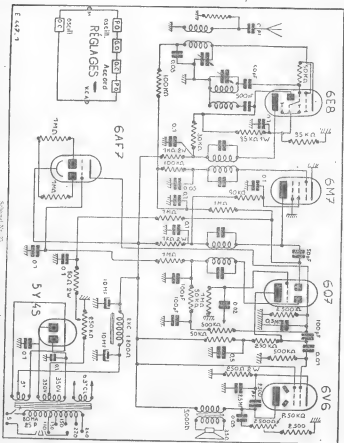
„Kopioteknika” Poznań

Wł. W. Raszkiewicz, ul. Wierzbicińska 19. Tel. 10-55

Na płaciszcie wysłany pomysł. Przy zamówieniach podać nazwę i typ aparatu oraz wymiar skali



Schematic No. 24

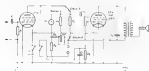


Rozmaitości

W 9 Nr „Rada” podaliśmy opis popularnych dróg w Ameryce „Signal Tracer’a”. Z zadowalającymi nam obserwacjami przedstawiały nowe rozwiązanie tego wspomnianego przyrządu.

WYGODNY PRZYRZĄD DO WYKRYWANIA USZKODZEŃ W RADIOODBIORNIKACH (Signal Tracer)

Na rynku amerykańskim pojawił się obecnie nowy typ przyrządu o stosunkowo prostej konstrukcji, służący do wykrywania uszkodzeń w radioodbiornikach względnie w innych urządzeniach niskiej i wysokiej częstotliwości. Konstruktorzy przyrządu wychodzą z założenia że łatwiej znaleźć wady wywołujące uszkodzenia, polegające na interakcji techniki, poprzez dalszym doświadczeniem, względnie metodą, ograniczającą się tylko do pomiaru napięć, prądów i oporów przyrządem uniwersalnym, niż może być wystarczająca.



Rys. 1

Najszybziej prowadzi do wykrycia błędów czy uszkodzenia w odbiorniku przesłuchanie sygnału od wejścia odbiornika aż do wyjścia. Śledzenie za sygnałem odbywać się powinno optycznie i słuchowo. Ponieważ przyrząd do wykrywania uszkodzeń powinien być łatwo przenośny, prosty w obsłudze i tani, konstruktorzy zrezygnowali ze stosowania oscylografu katodowego, miernika zniekształceń itp.

Przyrząd składa się właściwie z dwóch części zasadniczych (rys. 1):

a) woltomierza lampowego, nadającego się do pomiarów wielkiej, pośredniej i niskiej częstotliwości,

b) wzmacniacza niskiej częstotliwości z głośnikiem, względnie słuchawkami, pozwalającego na ocenę słuchową jakości sygnału.

Czułość całego urządzenia jest dostateczna dla ustalenia obecności względnie braku sygnału w każdej części odbiornika. Zakres częstotliwości sięga od najniższych, akustycznych, do 10 megacykli.

Woltomierz lampowy posiada bardzo duży opór wejściowy, przez co zmika się obciążenie

badanego obwodu. Woltomierz ten jest zaopatrzony w przyrząd pomiarowy (miliamperomierz), pozwalający na względny pomiar siły sygnału.

Zasada działania urządzenia widoczna jest z rys. 1.

Wartości elementów są następujące:

- R_1 — 20 megomów, $\frac{1}{2}$ wata,
- R_2 — 20.000 omów, $\frac{1}{2}$ wata,
- R_3 — 1000 omów, $\frac{1}{2}$ wata,
- R_4 — R_5 = 500 omów, $\frac{1}{2}$ wata,
- R_6 — 500 omów,
- R_7 — 50.000 omów, $\frac{1}{2}$ wata,
- R_8 — 0,5 megoma (potencjometr),
- C_1 — 20 em, mikowy
- C_2 — C_3 = 3000 em,
- C_4 — 4 MP (elektrolityczny)

Pierwszy stopień składa z lampy 1T4, słownej woltomierza lampowego o detekcji siatkowej. Mostek detekcyjny stanowi kondensator 200 em i opór siatkowy 20 megomów.

Przełącznik umieszczony w obwodzie anodowym pozwala na włączenie następnego stopnia wzmacnienia, wówczas gdy sygnał ma być odbierany na głośnik. Gdy na słatkę pierwszej lampy nie przedostaje się żaden sygnał, to w obwodzie tej lampy płynie prąd, gdyż slatka ma potencjał równy zero.

Z chwilą pojawienia się sygnału, następuje dodatkowy prąd siatkowy, który na oporze R_1 wytwarza spadek napięcia, polaryzując slatkę ujemnie. Prąd anodowy wskutek tego ulega zmniejszeniu. Umieszczony w obwodzie anodowym miliamperomierz wykazałby więc zmniejszenie się prądu. Dla wygody łączy się tu miliamperomierz odwrotnie tj. końcówkę plus do anody, a końcówkę minus do dodatniego bieguna baterii. Potencjometrem 500 omowym (R_8) sprowadza się wskazówkę miliamperomierza na zero, wówczas, gdy nie ma sygnału doprowadzonego do slatki.

W ten sposób przy istnieniu sygnału na wejściu, miliamperomierz będzie wskazywał wzrost prądu.

Przyrząd pomiarowy jest to miliamperomierz z cewką suchą w polu silnego magnesu kołowego.

Kondensator C_1 , opór R_1 , oraz lampa 1T4 umieszczone są w jednej tulei ekranowanej mosiądzem. Z tulei wystają tylko przewody, będące doprowadzeniem do kondensatora C_1 (Rys. 2). Przeciekł tym dotyka się tych części radioodbiornika, które są źródłem napięć zmiennych jakiegokolwiek częstotliwości.

W drugim stopniu wzmacniacza została zastosowana lampka 354 lub 3Q4, głośnik dynamiczny małej średnicy, ze stałym magnesem. Całość zasilana jest z baterii, umieszczonych zresztą we wspólnej obudowie z przyrządem. Po wstępnym sprawdzeniu w odborniku napięcie ewentualnie prądów przy pomocy uniwersalnego woltomiliamperomierza, przystępuje się do lokalizowania uszkodzonego elementu odbornika przy pomocy opisanego powyżej przyrządu. Znalazienie otwartych, zwartych, czy szumliwych oporów, uszkodzonych kondensatorów, cewek czy uzwojeń transformatorów, nie przedstawia żadnych trudności.

Przyrząd może być stosowany łącznie z generatorem sygnałowym. W braku takiego można posługiwać się odbiorem radiostacji.

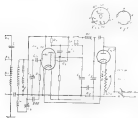
Podany opis odnosi się do przyrządu, znajdującego się na rynku amerykańskim.

Nie ma specjalnych trudności w zbudowaniu podobnego urządzenia w swoim własnym warsztacie; lampy mogą być zastąpione typami europejskimi.

Dr inż. A. Blicher

ODBIORNIK D. K. E. NA LAMPACH ZASTĘPCZYCH

Dość rozpowszechniony jest popularny typ odbiornika uniwersalnego, reakcyjnego (D. K. E.), zasilanego z sieci.



Rys. 1

Schemat popularnego odbiornika reakcyjnego sieciowego (D. K. E.)

Stosowane w nim lampy serii „V” — są obecnie dość trudne do nabycia na rynku, a nadość dość kosztowne. Możemy jednak zastosować w nim lampy zastępcze, w wielu wypadkach łatwiejsze do nabycia i poza tym niejednokrotnie tańsze.

Sama adaptacja aparatu do pracy na lampach zastępczych nie przedstawia trudności, ani nie

wymaga poważniejszej przeróbki. Może być z powodzeniem wykonana przez cokolwiek zaawansowanego radioamatora.

W niniejszym opisie są podane wskazówki do przeprowadzenia zamiany lamp, przy czym dla łatwiejszego zrozumienia — umówione będą wstępem najważniejsze cechy samego układu, w oparciu się o jego schemat ideowy (rys. 1).

Opis odbiornika

Odbiornik D. K. E. jest odbiornikiem uniwersalnym, jednoobwodowym, przystosowanym do zasilania z sieci prądu stałego i zmiennego o napięciu od 110—220 V. Zakres fal: 200 — 600 m i 800 — 2000 m. Pracuje na 2 lampach serii V o minimalnym poborze prądu żarzenia (prądu 50 mA): lampka VCL11 i lampka VY₂.

Lampka VCL11 jest lampą kombinowaną o napięciu żarzenia 90 V. Stanowi ona połączenie 2 lamp w jednej bańce szklanej: część tródlampowa pracuje jako detektor, część tetrodowa — jako końcówka wzmacniacza niskiej częstotliwości.

Lampka VY₂ pracuje jako prostownik jednokierunkowy; jej napięcie żarzenia wynosi 30 V.

Obydwie lampy są pośrednio żarzone. Napięcie żarzenia ich wynosi w sumie 120 V. Włókna żarzenia są połączone szeregowo i przez opór R₁ załączone do sieci. Wartość oporu R₁ wynosi 2000 Ω, odgałęzienia 600 Ω. Przebieżanie odbiornika na różne napięcia sieci odbywa się przy pomocy zwieracza. Przy napięciu sieci 110 V — opór R₁ jest zwarty na krótko, przy napięciu zaś 150 V — włączona jest tylko część oporu (odgałęzienie na 600 Ω). Natomiast przy napięciu 220 V jest włączony całkowity opór R₁. Redukuje on nadwyżkę napięcia, wynoszącą 100 V (różnica między napięciem sieci 220 V i napięciem żarzenia lamp 120 V, wynosi 100 V), przy czym wartość prądu (30 mA) pozostaje ta sama.

W części tródlampowej lampy VCL11 znajduje się strojony obwód wejściowy, składający się z kondensatora C₁ i cewki dla fal średnich i długich, włączonej równolegle; kondensator C₂ i cewka L₁ stanowią reakcję.

Kondensator C₃ i opór R₂ tworzą tzw. mostek detekcyjny. Po prostowaniu — niską częstotliwość przebiega z części tródlampowej lampy na tetrodową przez kondensator C₄ i opór R₃ na siatkę tetrody i poprzez tetrodę — do głośnika.

Między stopniem końcowym a detektorem jest zastosowane za pomocą oporu R₄ tzw. odprężanie, czyli ujemna reakcja. Polepsza ona charakterystykę, z drugiej strony jest ona konieczna w tym układzie z uwagi na to, że lampka VCL11 jako lampka kombinowana, składająca się z 2 lamp, ma tendencję do sprzęgania się i mogłaby oscylować.

W obwodzie zasilacza jest użyta lampa VY2 spełniająca, jak już wyżej podano — rolę prostowniczą jednokierunkowego. Kondensatory C_1 i C_2 oraz diament DI — tworzą filtr prostowniczy, skąd napięcia stałe są odprowadzane do anody i do statki ekranującej lampy VCL 11.

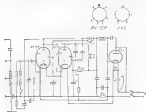
W obwodzie antenowym są trzy gniazda (A_1 , A_2 i A_3). Kondensator C_3 spełnia rolę kondensatora skrcającego obwód antenowy.

Dostosowanie układu do pracy na lampach zastępczych (rysunek 2 i 3)

Z kolei omówimy manipulację, związaną z zamianą lamp w odbiorniku na typy zastępcze.

Pomiędzy lampami produkowanymi podczas wojny dla radiowego sprzętu wojskowego, są niektóre typy nadające się do pracy w odbiornikach uniwersalnych, zwłaszcza lampy serii RV—12P, z której dla przykładu wybieramy lampę RV—12P — 12P — 2000 Ω , jako zastępczą dla lampy VCL 11 i VY2.

W miejsce VCL 11 należy użyć 2 lampy RV—12P. Łączne napięcie żarzenia lamp VCL 11 i VY2 wynosi 120 V, wartość napięcia żarzenia 2 lamp RV—12P, użytych w miejsce lampy VCL 11 — wynosi przy ich szeregowym połączeniu włókien — 25 V, co wraz z napięciem żarzenia lampy VY2 — daje 55 V. Przy napięciu sieci 220 V, różnica wynosi 165 V. Prąd żarzenia lampy RV—12P jest równy 74 mA, dzieląc 165 V przez 0,074 A, otrzymamy całkowitą wartość oporu R , wynoszącą 2240 Ω . Ponieważ opór ten posiada już 2000 Ω , należy więc zwiększyć go przez załączenie w szereg dodatkowo 240 ($\text{okrągle } 250 \Omega$).



Rys. 2

Wobec tego, że w obwodzie żarzenia płynie prąd 75 mA, a lampa VY2 jest dostosowana do 50 mA, należy równolegle do jej włókna żarzenia załączyć opór RV. Wiekłość tego oporu obliczamy, dzieląc napięcie żarzenia lampy VY2—30 V przez 0,024 A, otrzymamy 1250 Ω czyli wartość oporu RV, przy obciążalności minimum 2 W.

Rys. 3 przedstawia sposób zamontowania 2 lamp RV—12P na podstawie zwykłej lampy VCL 11.

Jedna lampa RV—12P zastępuje część triodową lampy VCL 11, może tu pracować jako trioda i wówczas należy spiąć siatkę S_1 i S_2 z anodą, lub też jako pentoda i wówczas należy włączyć w obwód jej siatkę ekranującą S_3 — opór RS_3 wartości 0,8 do 1 M Ω oraz kondensator CS_3 o pojemności 0,5 do 1 μ F.

W tym drugim wypadku otrzymujemy nieco większe wzmocnienie stopnia amplitudowego.

Druga lampa RV—12P zastępuje tetrodową część lampy VCL 11 i pracuje jako pentoda końcowa. W związku z tym należy zwiększyć opór RV z poprzedniej wartości 300 Ω do 500 Ω i w obwód siatki ekranującej S_2 tej lampy włączyć opór RS_2 — 10.000 omów oraz kondensator CS_2 wartości około 0,1 μ F.



Rys. 3

W ten sposób byłaby załatwiona sprawa zamiany lampy VCL 11 dwoma lampami zastępczymi RV—12P.

Chcąc użyć jeszcze w miejsce lampy VY2 — lampy zastępczej RV—12P, musimy zwiększyć wartość oporu R o 180 Ω , siatkę S_1 i S_2 spiąć bezpośrednio z anodą, zaś siatkę S_3 poprzez opór 2000—5000 Ω . Wynika to z następującego obliczenia:

napięcie żarzenia 3 lamp RV—12P wynosi

$$3 \times 12,5 \text{ V} = 37,5 \text{ V}$$

prąd żarzenia 74 mA

stąd wartość oporu

$$R = \frac{220 \text{ V} - 37,5 \text{ V}}{0,074 \text{ A}} = 2430 \Omega$$

Taką wartość musi zatem posiadać w tym wypadku opór R , przy obciążalności minimum 4W.

Lampę prostowniczą VY2 można w braku lampy zastępczej zastąpić zwykłym prostownikiem selenowym na obciążenie ok. 15 mA.

W tym wypadku — zamiast lampy VY2 należy w obwód żarzenia włączyć opór, tak, aby całkowita wartość oporu R wynosiła 2635 Ω .

Sam prostownik da się osadzić na podstawie ze zwykłej lampy VY2.

M. Wargalla

DOROBIEŃE ZAKRESU FAŁ KRÓTKICH DO DKE

Aby umożliwić posiadaczom prostych odbiorników, względnie dobrych odbiorników stacji francuskich, rosyjskich, angielskich i innych w ciągu całego dnia, pokażemy jak w stosunkowo łatwy sposób można doroobić zakres fał krótkich

do odbiornika DKE bez których odbiór w ciągu dnia jest praktycznie niemożliwy. W tym celu należy przygotować:

1. przełącznik czteropozycyjny (typu błyskawicznego),
2. rankę przepianową o średnicy w granicach 1,5—3 cm i długości około 4 cm.

Wykonanie cewki krótkofalowej.

Cewkę do odbiornika modelowego wykonano z rurki po przetłumaczonym suchym elektrolicie (aktywnym w odbiornikach DKE w filtrze anodowym) o średnicy zewnętrznej 2,2 cm.

Użyto połowę rurki, resztę ucięto. Mniej więcej na środku rurki nawinięto drutem miedzianym w emalii o średnicy 1 mm sześć zwojów siatkowych. Pomiędzy zwojami siatkowymi nawinięto urownieńczo reakcyjne — 7 zwojów drutem miedzianym w jedwabiu o średnicy 0,2 mm.

Cewkę antenową nawinięto (obok cewki siatkowej) drutem 0,2 mm w jedwabiu — 5 zwojów.

W wypadku, gdyby radioamator nie miał do dyspozycji takiej rurki, jakiej użyto w aparacie modelowym, to ilość zwojów siatkowych obliczyć można z grubym przybliżeniem dla średnicy od 1,5 — 3 cm ze wzoru

$$n_2 \approx \sqrt{\frac{D}{D_1}} \cdot n_1$$

n_1 i D_1 zwoje i średnica rurki w przykładzie,
 n_2 i D_2 „ „ w zmienionych warunkach.

Cewkę łączymy wg. dług schematu dołączanego obok. Gdy już mamy cewkę gotową przystępujemy do wykonania podłączenia cewki do aparatu.



Rys. 4

Podłączenie cewki do aparatu.

Przed wszystkim musimy zmienić częściowo układ. A więc aby osiągnąć reakcje na falach krótkich, należy dobrać układ filtra wysokiej częstotliwości. W tym celu odłączamy od końcówek kondensatora reakcyjnego (od strony anody lampy detekcyjnej) kondensator stały 300 pF (rys. 1). (Rogodził on reakcję na falach średnich i długich), a w szereg z oporem anodowym lampy detekcyjnej załączamy 10 K Ω (0,5 wata) i blokujemy go odłączonym kondensatorem 300 pF.

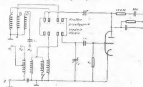
Teraz, gdy układ jest już przygotowany, przystępujemy do podłączenia cewki krótkofalowej.

Układ po przeróbce

Do kondensatora antenowego 300 pF (A_1) zamiat cewki dla fal średnich i długich, załączamy cewkę antenową dla fal krótkich.

Na fale krótkie będziemy mieli dodatkowy przełącznik, który należy umocować z boku skrzynki nad cewkami średnio i długofalowymi. Połączenia należy wykonać dokładnie według schematu załączonego poniżej. Szczególnie należy zwrócić uwagę na połączenie przy przełączniku. Kiedy już wszystko zostanie zmontowane, przystępujemy do sprawdzenia i uruchomienia aparatu.

Badamy początkowo zakres fal średnich. Końcówki strojenie ustawiamy na Warszawę i lub II, (II, która w danej chwili jest czynna), przełącznik dodatkowy załączamy na taką pozycję, która daje możliwość odbioru fal średnich i długich i regulując kondensatorem reakcyjnym badamy, czy jest reakcja i czy Warszawę słychać tak, jak przed przeróbką. To samo sprawdzamy na zakresie fal długich — jeżeli i tu otrzymamy reakcję, oznacza to, że te zakresy są w porządku.



Rys. 5 a)

A teraz przystępujemy do sedna sprawy. Przełącznik dodatkowy załączamy na pozycję fal krótkich. Obracając kondensatorem reakcyjnym sprawdzamy, czy osiąga się reakcję na tym zakresie — winno powstać charakterystyczne puknięcie z przyswizdem.

O ile reakcja wystąpi, to znaczy, że cewka krótkofalowa jest dobrze nawinięta i połączenie wykonane bez pomyłki, gdyż reakcja nie wystąpiła, to należy jeszcze raz sprawdzić cewkę krótkofalową i połączenia.

W wypadku, gdy reakcja na falach krótkich wystąpi, sprawdzamy odbiornik na antenie zewnętrznej. Zakres krótkofalowy ma swoją antenę (A_1), którą można używać tylko na fale krótkie. Załączamy antenę i regulując kółkiem strojeniowym i kondensatorem reakcyjnym, staramy się odebrać jakąś stację.

Aparat modelowy przy 30 mtr. antenie zewnętrznej odbierał w dzień kilka stacji francuskich, rosyjskich i angielskich. Wieczorem odbiór był jeszcze lepszy, słysze krótkofalowe można było odebrać prawie tak głośno jak Warszawę.

Przy tej cewce odbiornik pokrywa zakres krótkofalowy od 18 — 32 m.

A. Kosiński

a) Opór anodowy wraz z kondensatorem szeregowym ma być połączony w parze pomiędzy oporem 10 K Ω a kondensatorem 300 pF, a nie bezpośrednio z anodą.

Odpowiedzi Redakcji

Jankowski Kazimierz, Warszawa. — Opis przyrządu do mierzenia oporów i kondensatorów będzie zamieszczony w jednym z następujących numerów miesięcznika.

Ławoski Jerzy, Gdansk. — W dwóch uniwersalnych testach użył dowolnie zespoły cewek z jakiegokolwiek aparatu, jeżeli oczywiście nie są one uszkodzone. Lampa 6L6, 6L5 A, $V_a = 250$ V; $I_a = 2,5$ mA; $V_{g1} = -9$ V; Równon = 0,011 MΩ. Na jeden kopert dostajemy tylko jedną odpowiedź.

Jarek z Podhala, Sucha. — Serdecznie dziękujemy za miły list; niestety, co do znaków Morse'a, to jest Pan w błędzie. Krótkodługości słowiański znakik niekiedy słyszeliśmy, znaki podane przez Pana są to znaki i. w. U.S.A. Morse.

Malicki, Bydgoszcz. — Opis uruchomienia i zastosowania sygnałogeneratora omówiono wyczerpująco w Nr 10 „Radio”.

Trimery C_1-C_2 — służą do ustalania początków każdego zakręsu. Pasa tym przy zmianie lampy wyrównuje się tam pojemność początkową obwodu. Opór R_g służy do obciążenia prostownika przed podłączeniem się lamp, obciąża w ten sposób czuływo napięcie na kondensatorze, oczywiście nie jest on konieczny potrzebny.

K. Lewasiewicz, Łódź. — Przyczyną słabego odbioru, głośności itp. w odbiorniku Ra 2190U jest przypuszczalnie brak zwarcia statki ekranującej przez kondensator do masy.

Umieszczenie od adapteru powinny być zwarcie w czasie odbioru (linia przekrojona).

Przy odtwarzaniu płyt należy gniazda rozrównić i włożyć przewody od adaptera. Wtedy siłki ekranujące gra rolę siłki ekranującej dla niskiej częstotliwości.

Jak w artykule może być z powodzeniem użyty głośnik dynamiczny. Transformator powinien być o takiej przekładni aby lampa pracowała na swój optymalny to jest około 20000 Ω.

Dla napięcia sieci 220 V można włączyć w szereg żarówkę o mocy około 20 W. W każdym wypadku należy skontrolować prąd żarówki, który winien wynosić około 75 mA.

W. Ch., Ustronie M. — W schemacie Nr 17 (wzmocnienie „Philips”) wartości potencjometrów są następujące: (R) 50000, (L) 10000, (Dr) 50000 omów kondensator 0,22 pF. Audycję z mikrofonu praktycznie można uzyskać tylko w sposób podany na schemacie.

Sobolewski Br., Przemyśl. — Odchłasię teogeneratorów opiszemy opisanych w Nr 1 Ra, rozważania teoretyczne określają częstotliwość wzorem:

$$f = \frac{1}{2\pi RC \sqrt{V}} \quad [a, b, c, d, f] \text{ lub } f = \frac{60}{CR} \quad [a, b, c, d, f]$$

KUPON Nr 11

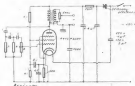
na odpowiedź w „Radio”

Nazwisko

Adres

przy cym C winno być większe lub najwyżej równe 500 pF.

Wzmocnienie lampy winno być większe lub równe 22 (zależnie układu filtrów). Prosty generator jednolampowy do zasilania mostków podaje poniżej rysunek.



Gawoski Olgierd, Kalisz. — Do opisanego w numerze 7 mostka pojemnościowego jako źródło zasilające można użyć baterięk czerwonolamp lub akumulater o tym samym napięciu.

Wykwalifikowane mostki z kondensatorami o nieliniowej charakterystyce natrączy dużo trudności i będzie on niewygodny w użyciu, gdyż z jednej strony podziałki na każdym zakręcie wysłgi zagęszczenie odczytywanych pojemności.

„Radioparaz” Ryś, Kraków. — Schemat w zamieszczeniu jest prawidłowy z punktacją reakcji w stopniu wysokiej czułości, która umożliwia słabej stronie odbioru.

Odbiór zagranicy w dzień nawet na duże aparaty praktycznie niemożliwy jest tylko na zakresie krótkofalowym oraz przy dobrej antenie na falach długich. Również wobec tego do posiadanych odbiorników dobrać należy „Jale krótkie” wg opisu w Nr 4 tyg. „Radio i Świat”.

Pawlik Józef, Prodnik. — W aparacie „Philips 11” z podanych przez Pana szeregiów należy włączyć, za powini być zastosowane następujące lampy: ECH3, EP9, EM1, EBL1, A23.

Wroniewski, Warszawa. — Plan kondensatora elektrolitycznego (12 x 7) w filtrze z. c. m. mode Pan załączyć do jednego z biegunów łarcenia lampy prostowniczej.

Kondensatory elektrolityczne należy badać napięciem ciągłym, obciążony prądami wielkości napięcia pracy. W czasie próby w wypadku dobrego kondensatora wielkość przyłożonego napięcia nie powinna ulec znaczącej zmianie; podobnie łarc kondensatory można badać przy pomocy mostków potencjometrycznych.

Niektóre załączenia doprowadzenia do wysokiej anteny zewnętrznej może wpłynąć na siłę odbioru stacji lokalnej o ile ta znajduje od strony doprowadzenia.

Przybyciek Czesław, Warszawa. — Odbiornik C-my Elek-trit typ Allego posiada lampy: EKL, EBC1, EM1 oraz, jeśli jest tylko o...stosiemk sieciowym za pr. zasilania: EL3 i A23 lub, jeśli jest typem uniwersalnym: CL4, CY1, EUV1.

Molek Stefan, Łódź. — Zasilacz lampy RV12P2000 w dwóch z Nr 9 można zastosować lampy RV12P4000 z tym, że wartość oporu redukcyjnego zostanie zmniejszona do ok. 520 omów.

Wilczyński A., Toruń. — Do przyrządu pomiarowego najlepiej nadają się przewodniki miedziane — kryształki galery, używane jako detektory nie spełnia zadaniowego swojej roli.

Jadko Witold, Chwał. Łódź. — W Polsce nie ma jeszcze działalności wytwórci produkującej sprzęty jakichkolwiek sprzętów radiowych. Niekiedy co dzień, oraz tempesty czołowe posiadała podziemia „Radio” i „Radio”, które ogłoszenie znajduje się w Nr 3 miesięcznika.

Siemieniuk Teodor, Rembertów. — Sprawa dotycząca teoretycznego „zobowiązania” radioparagrafu zostanie uwzględniona w jednym z następujących numerów w artykule, omawiającym powołanie czytelnika zainteresowanego.

Michalski Witold. — Sposób zastąpienia lampy prostowniczej prostowalnikiem, sekwencje podany został w Nr 2 (34) tryb „Radio i Świat” z r. b., natomiast sposób obliczenia oporu redukcyjnego znajduje się w Nr 29 (52) tygodnika z r. b.

„Grodzińska”, Hł. — Pociągwałoby się lampy prostownicze 2525 przedstawia duże trudności, radiowy zastąpić ją prostownikiem sekwencyjnym lub lampą 2525 wagi 2525, które wymagają jednak zmiany podstawki w aparacie na typ, odpowiadający typowi danej lampy.

Seseki Michał, Włocławek. — Znajdź przekrój różnicy Q w cm² lubo jest obliczyć transformator sieciowy, posiadający się ogólną formułą $Z = \frac{10^6}{4.44 \cdot f \cdot B \cdot Q}$, gdzie poszczególne symbole oznaczają: Z — ilość zwłok na wolt, f — 50 — częstotliwość sieci, B — indukcja w gaussach (dla transform. do radiolokatorów przyjmij się $B = 10$ do 12 tys. gaussów).

Przekrój drutów dla poszczególnych zwojów $q = \frac{I}{S}$
 I — prąd w amperach S — gęstość prądu w Amperach (w praktyce $S = 2.5 \cdot 10^3$ A/cm² w zależności od mocy transformatora).

Chmura Julius, Wojewódzki. — Transformator do 3-lampowego Supera angielskiego musi oddawać ok. 50 watów mocy. Inne wielkości można obliczyć, posiadając się nomogramem Nr 1 z Nr 1 miesięcznika.

Uwaga: pierwotnie z kilkoma odstępami na różne napięcia można wykonać drutem o jednej grubości jeżeli porówna się te wysiłki różnic, jest to jednak nieznaczne ze względu na małą, dlatego zwykle stosuje się drut oreni sieć tak, jak to wynika z obliczenia.

Wielkość nawojenia wirnika zależy od formy jego nawinięcia oraz od rodzaju samej maszyny. Ogólnie
 $Z = \frac{E \cdot 10^6}{B \cdot f \cdot l}$

E — napięcie maszyny; a — liczba par biegunów
 l — strumień magn. — liczba par biegunów a — obrotów.

Liberadzki, Warszawa. — W czterolampowym aparacie bateryjnym z telekomunikacyjnej lampy słuchawki można mieć zastanowienie następujący komplet: DGH1, DGH1, DGH1, DGH1.

Radiński J., Kraków. — Do wykonania zasilacza sieciowego potrzeba jest przede wszystkim transformator, który włączony do sieci prądu zasilającego po stronie wtórnej daje odpowiednio napięcie zasilania i siłowe. W dalszym ciągu dla wyprostowania napięcia trzeba użyć lampy prostowniczej (lub prostownik słubowy) oraz filtry kondensatorowo — diodowy, wygładzający pulsację napięcia wyprostowanego.

Owies Witold, Toruń. — Lampa telefoniczna RG62 jest lampą prostowniczą wypełnioną gazem (w odróżnieniu od lamp próżniowych), służącą do specjalnych celów, gdzie chodzi o otrzymanie dużej wartości napięcia wyprostowanego.

Łagowski S., Rańce. — Lampa St V 280/40 może być użyta tam, gdzie potrzebna jest znaczna wartość napięcia w sieci zasilającej. Jest to stabilizator napięcia 280 woltów przy prądzie 40 mA.

ERRATA

W Nr 16 „Radio” z winy korektora układy się następujące błędy:

lin. 10, lewa kolumna, 3 wiersz od dołu ma być: str. 24, lewa kolumna, od góry 16 wiersz ma być: — około 10000 Ω

NOMOGRAM Nr 10

Indukcyjność, pojemność i częstotliwość

Przy obliczaniu wartości obwodów rezonansowych posługujemy się klasycznym wzorem

$$f = \frac{1}{2\pi \sqrt{LC}} \quad (\text{c s. H, F})$$

względnie

$$f = \frac{10^9}{2\pi \sqrt{LC}} = \frac{1.6}{\sqrt{LC}} \quad (\text{Mc/s, pF, pF})$$

obliczając wg długości fal otrzymamy wzór:

$$\lambda = 1.885 \sqrt{LC} \quad (\text{m, pF, pF})$$

na podstawie tych wzorów wykonany jest poniższy nomogram.

Wykorzystać go możemy również dla fal długich, pamiętając o tym, że powiększenie pojemności lub indukcyjności 100 razy — zwiększy długość fali 10 razy.

Na przykład chcemy zaprojektować obwód na fale długie. Pojemność kondensatora 500 pF, fala o długości 2000 m ($f = 0.15$ Mc/s), łączymy punkt 500 pF na skali pojemności i 200 m na skali fal. Linia prosta przecina skalę indukcyjności w punkcie 22 pF. Dla fali 10 razy większej (2000) należy powiększyć indukcyjność 100 razy. Zatem szukana cewka winna mieć indukcyjność $22 \cdot 100 = 2200$ pF = 2,2 mH.

Redakcja Kierbat

Wydawca: Biuro Wydawnictw P. R.

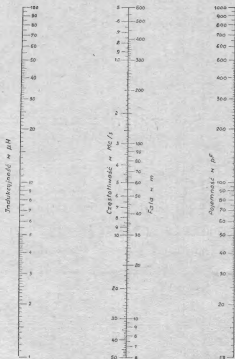
Adres Redakcji i Administracji: Marszałkowska 56.

Warunki prenumeraty: Półrocznik wraz z przesyłką pocztową zł. 360. Prenumeratę należy wpłacać na konto czekowe w PBO Nr 1-330 „Radio i Świat”. Na odwrocie blankietu odpowiadającego należy zamknąć prenumeratę miesięcznika „Radio”. Cena pojedynczego egzemplarza zł. 65.—

Ceny ogłoszeń na okładce i kol. — 0.000 zł, 1/4 kol. — 0.000 zł, 1/2 kol. — 0.000 zł, 3/4 kol. — 0.000 zł, w tekście zł. 80 za 1 m. szer. i 1 sąpół.

0-31303

$$\lambda_{\text{д}} = 1.085 \sqrt{L_{\text{дн}} C_{\text{дф}}}$$



Nomegram 10